

EINSTEIN RING:
COSMIC HORSESHOE

TE FOTOGRAFEREN MET EEN
KLEINE TELESCOOP?

Mario Pinto

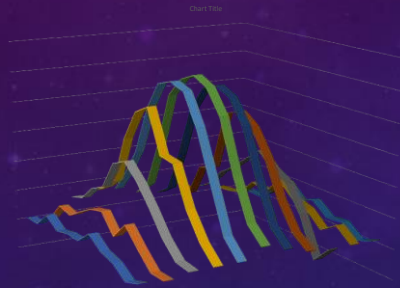
Leidse Weer- en Sterrenkundige Kring
Oude Sterrewacht, Leiden, 2024-09-17



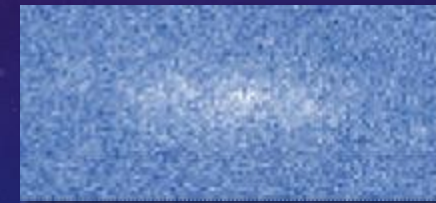
Hubble Space Telescope opname van de *Cosmic Horseshoe*.



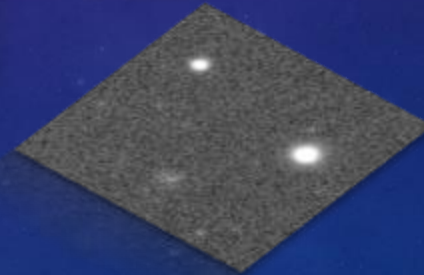
Introductie



Techniek



Signaal / Ruis



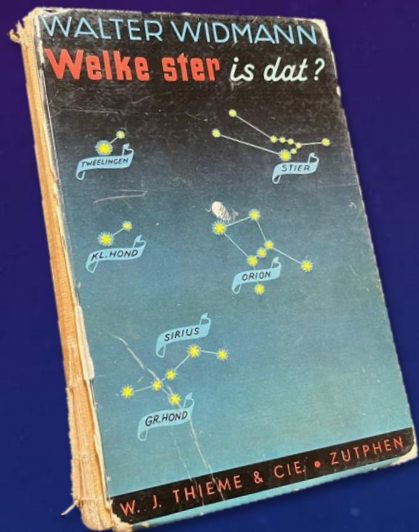
Gravitatie en de Ring



INTRODUCTIE

1970-1980

30 mm lens
Ringen van Saturnus!



2010

90 mm William Optics
Azimuthaal, visueel



2014-01-28

M82 met supernova
2.5 s belicht, niet gevolgd – jammer!



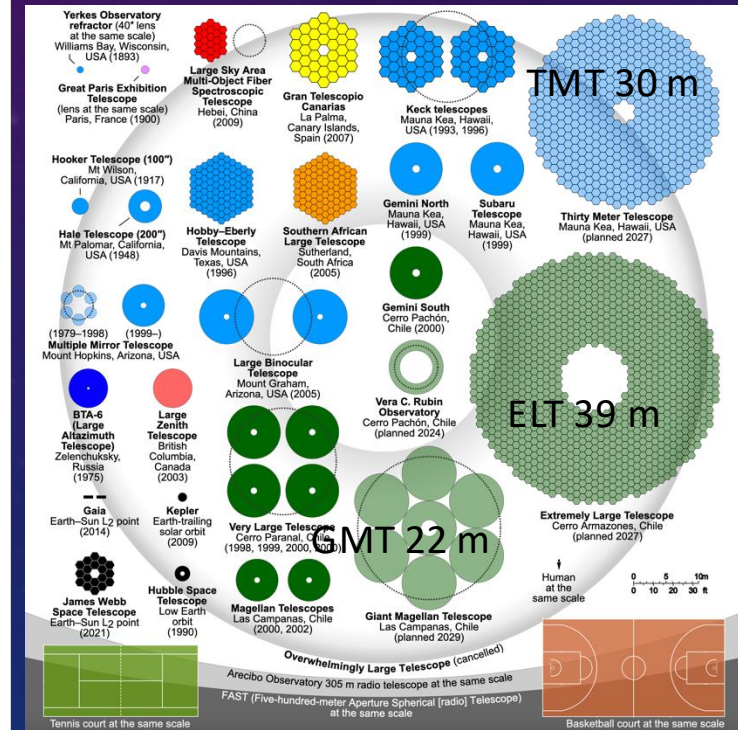
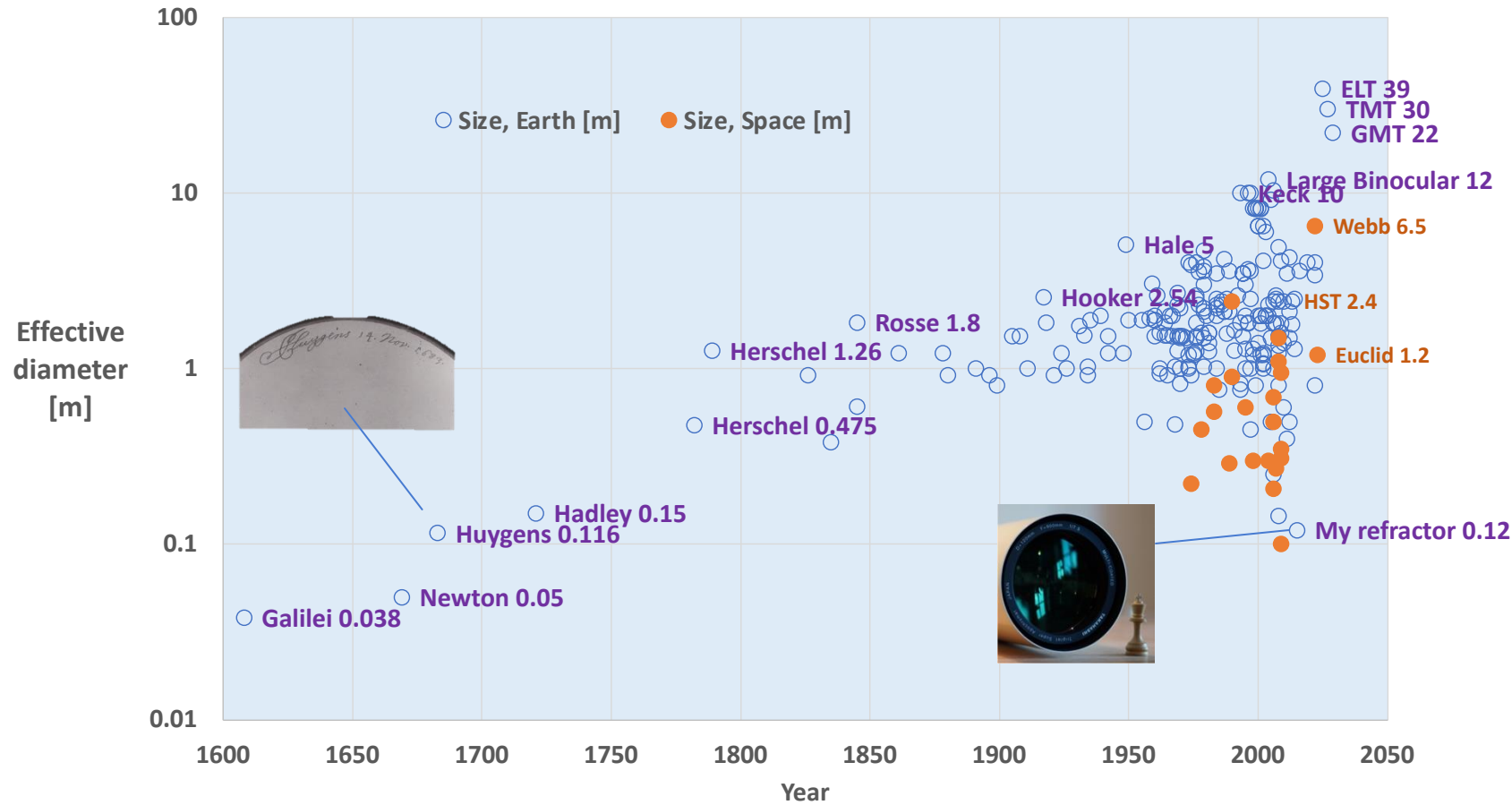
2015-

120 mm Takahashi
Parallactisch, fotografisch



Grootste telescopen in de historie

Largest telescopes

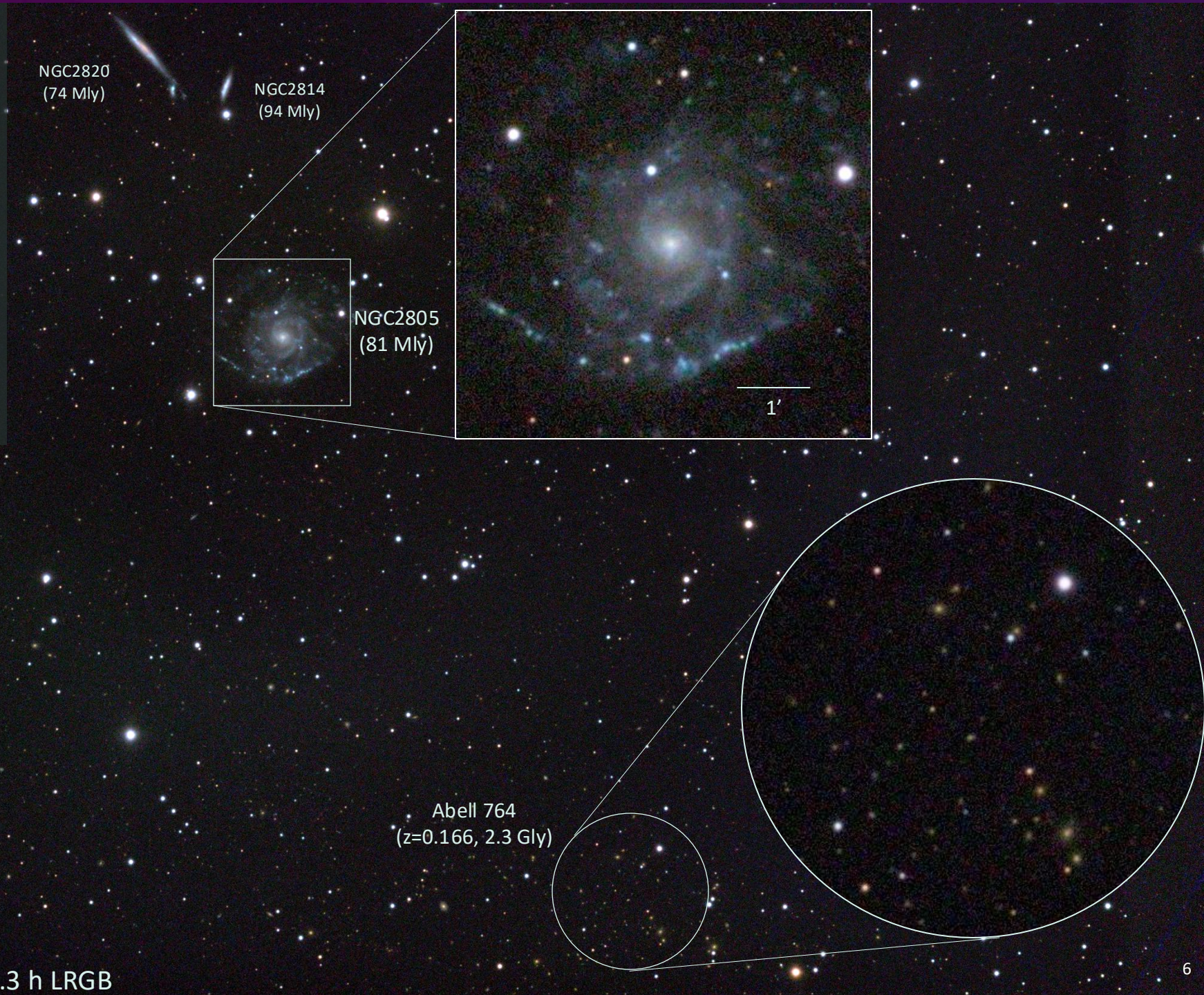


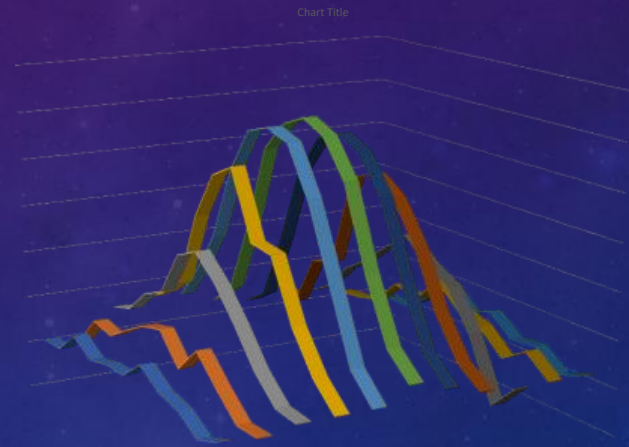
Source: Wikipedia

Deep Sky foto. NGC2805 en Abell 764

Technische verbeteringen:

- Ster volgen
- Automatisch focuseren
- Signaal/Ruis optimum
- Opnames combineren





TECHNIEK

VERBETERINGEN

Computer en vocht-temperatuursensors

Extra conragewicht



Compacte constructie met berekend zwaartepunt



Rigide telescoopbeugels



Gekoelde CMOS camera met LRGBH α filters



Betrouwbare veldopstelling autonoom via WiFi

AUTOMATISCHE FOCUS

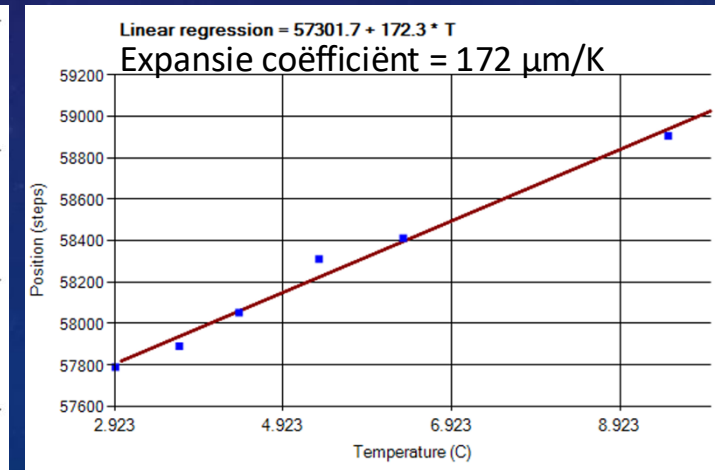
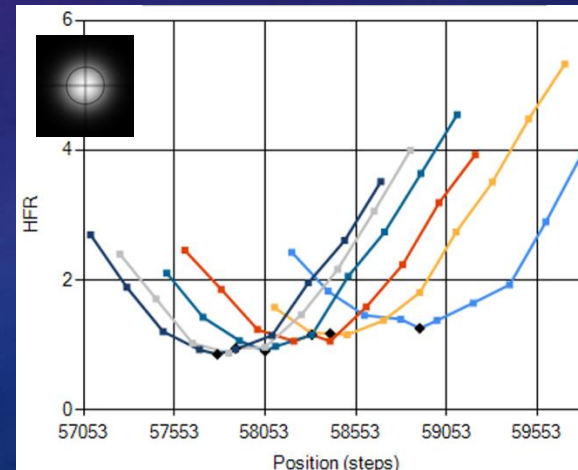
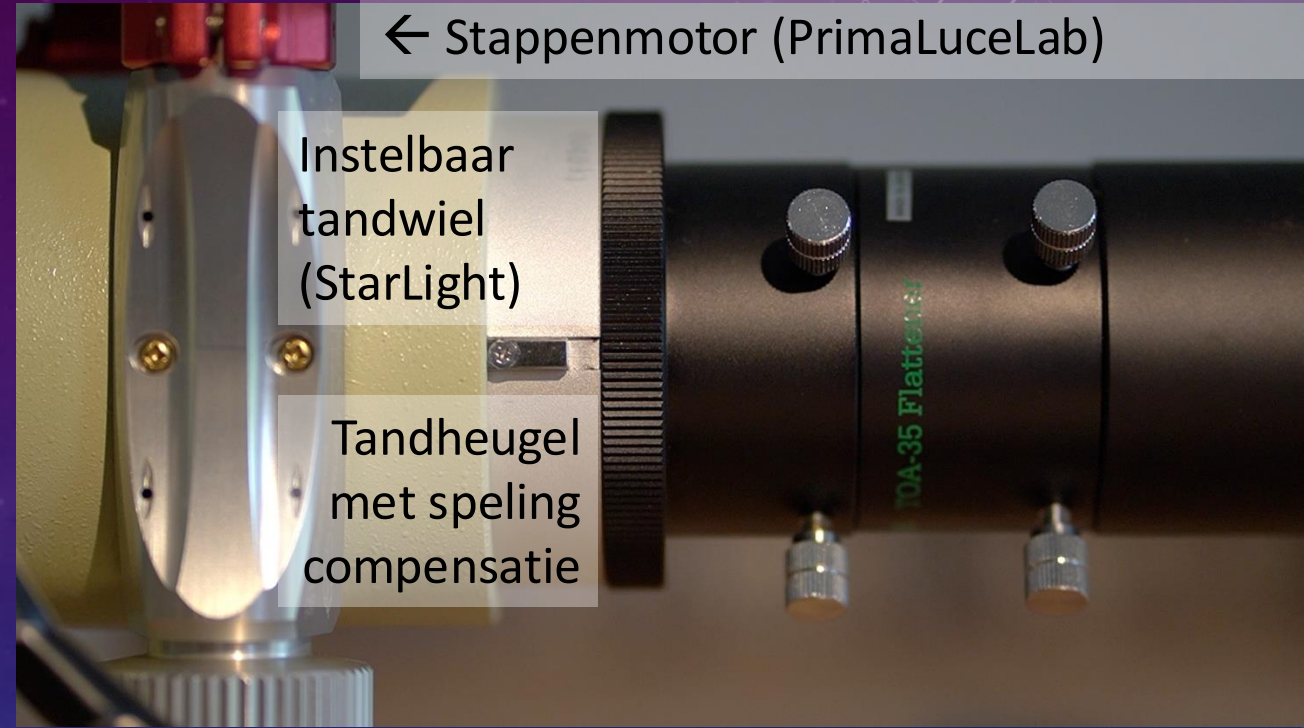


Onvoldoende



Automatisch en herhaald

- De Half-Flux-Radius (HFR) bepaald beste focus instelling in Sequence Generator Pro (SGP) →
- Focuseer-positie is temperatuur-bepaald.



110 JAAR VERBETERINGEN



Stephan's quintet

Lichtgevoelige chemie



CMOS sensor

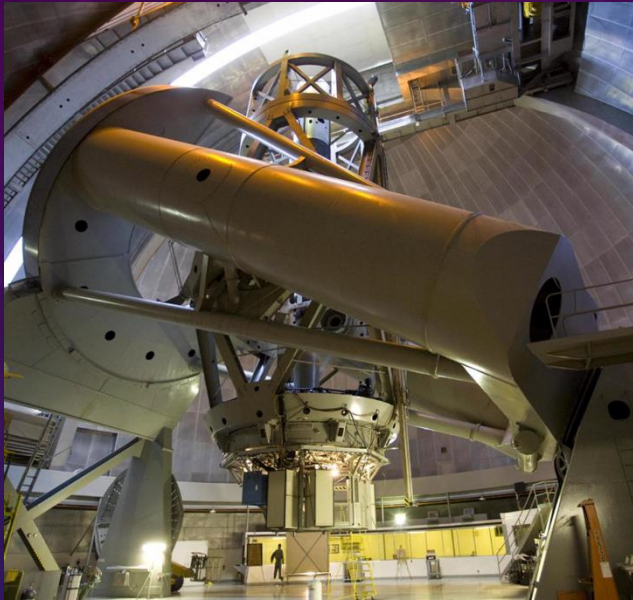
**1.5 m
Mt. Wilson
telescoop
in 1908**

● 120 mm
telescoop



1952: 5 m Hale Telescope, Mount Palomar, USA.

M42 Orion Nebula

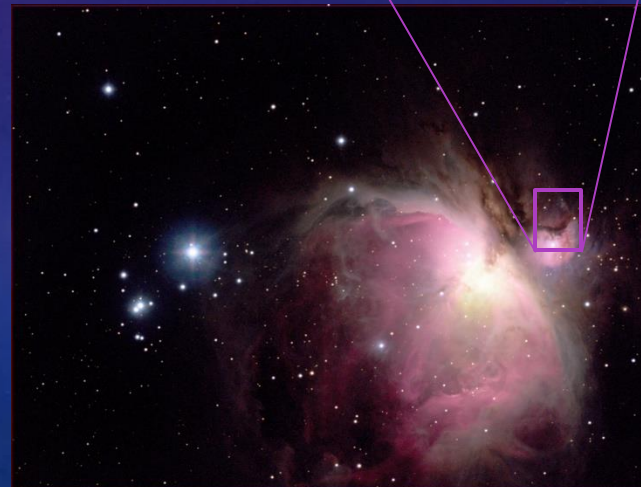


5 m, f/3.3 Hale telescoop op Mount Palomar, USA.



Orion nevel (M42) foto met 5 m Hale Telescoop.

Coma aberratie!



2019-02-25 M42 in Orion met Takahashi 120 mm

3L2R2G2B x 120 s (18') en ASI1600MM camera op -10 °C vanuit Berg en Dal.

Grotere telescopen niet zomaar scherper!

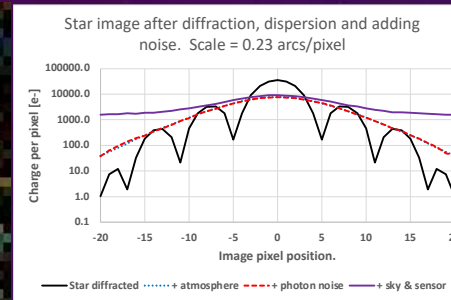
Dit komt door onze atmosfeer.

Twee oplossingen:

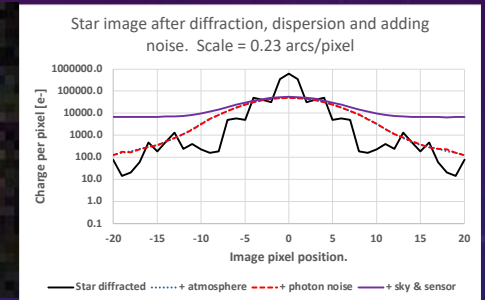
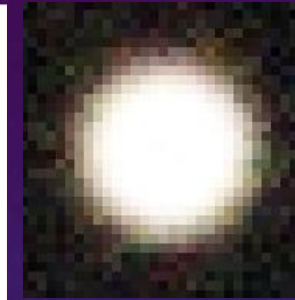
- in de ruimte (HST, Webb, Euclid, etc.)
- met adaptieve optiek (alle grote telescopen op Aarde)

Gesimuleerd met een witte ster (F0V spectrum) van magnitude 14 door convolutie van atmosferische dispersie en optische diffractie op een 0.23 arcs pitch sensor. Een centrale obstructie in de telescoop om diffractie effecten te versterken. 240 s belicht en achtergrond magnitude 19 / arcs².

2" seeing

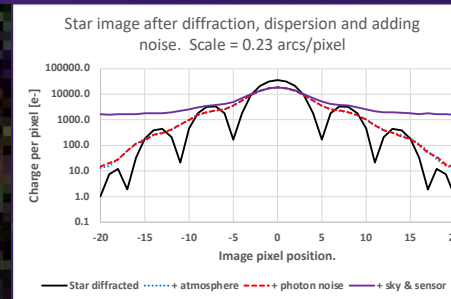


120 mm

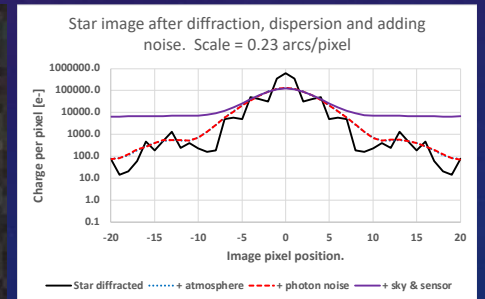
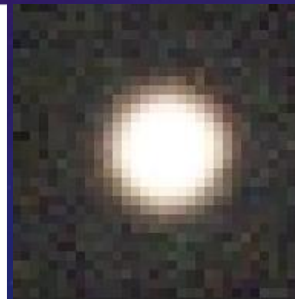


250 mm

1" seeing

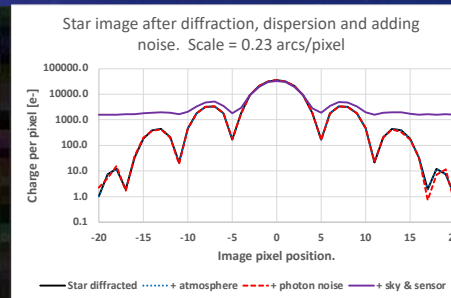
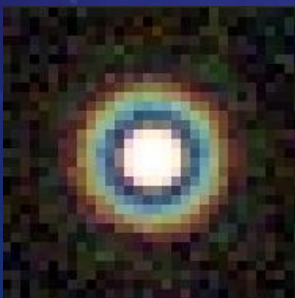


120 mm

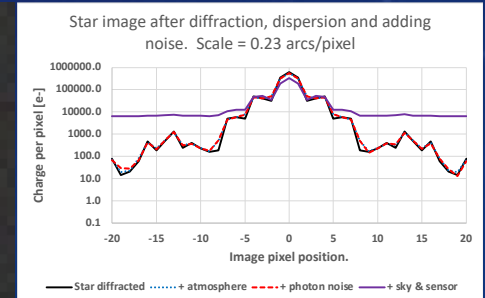


250 mm

0" seeing (geen atmosfeer)



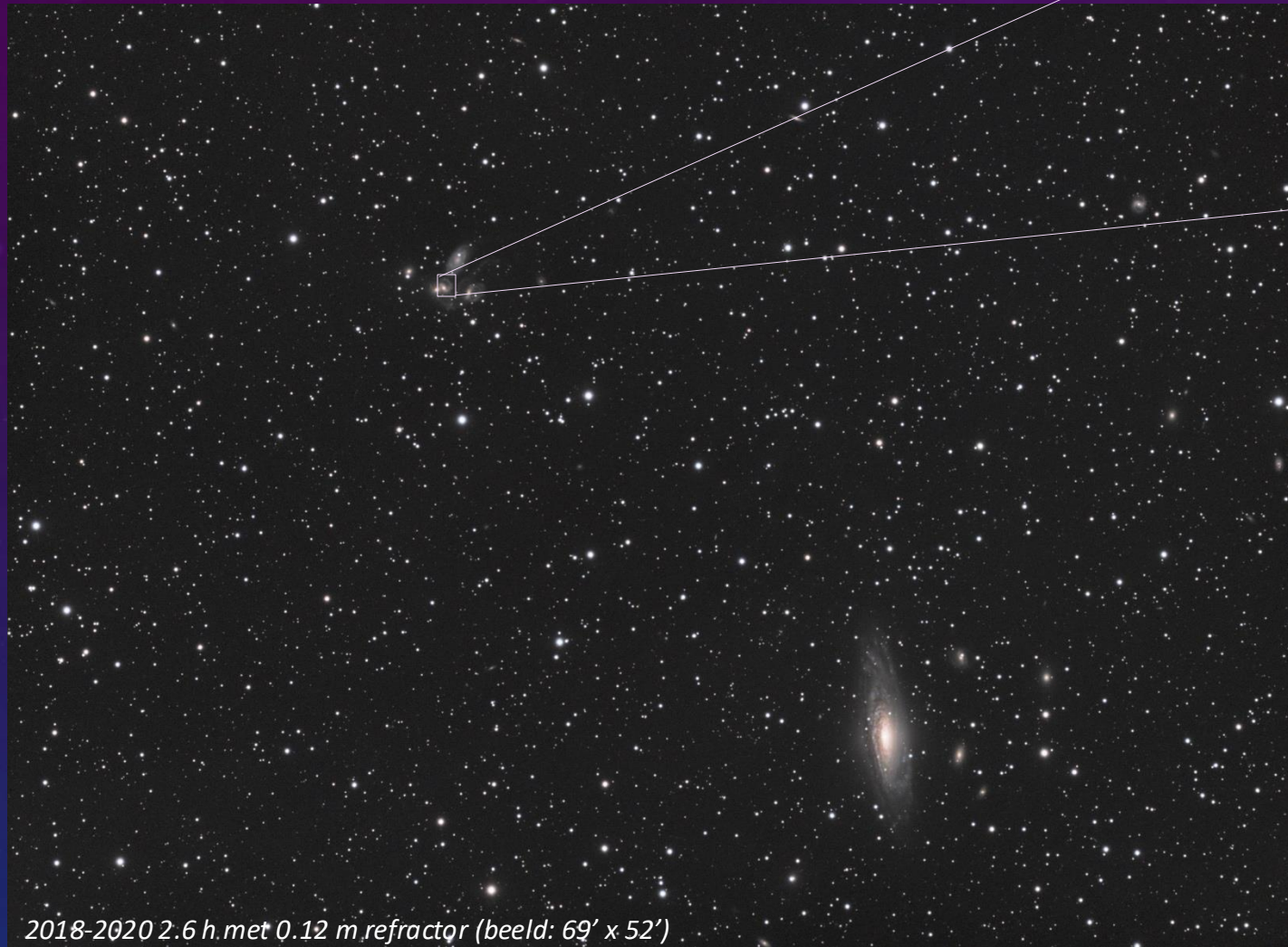
120 mm



250 mm

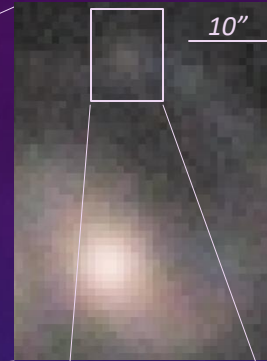
2022: 120 mm refractor versus Webb

Stephan's Quintet

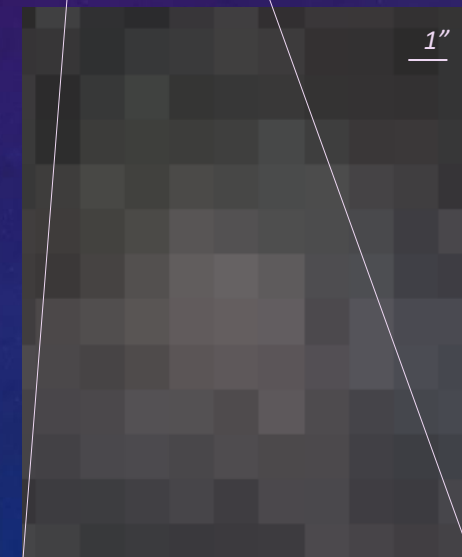


2018-2020 2.6 h met 0.12 m refractor (beeld: 69' x 52')

2018-2020 2.6 h met
120 mm refractor



2022
6.5 m Webb



The background features a dark blue gradient with faint, light blue technical diagrams. These include circular gauges with numerical scales (e.g., 140, 150, 160, 170, 180, 190, 200, 210, 220, 230, 240, 250, 260) and various circular arrows indicating rotation. A central rectangular area contains a blue, grainy noise pattern.

SIGNAAL / RUIS

SIGNAAL / RUIS

Beste signaal-ruis verhouding nodig om Cosmic Horseshoe te kunnen zien.

Diverse ruisbronnen

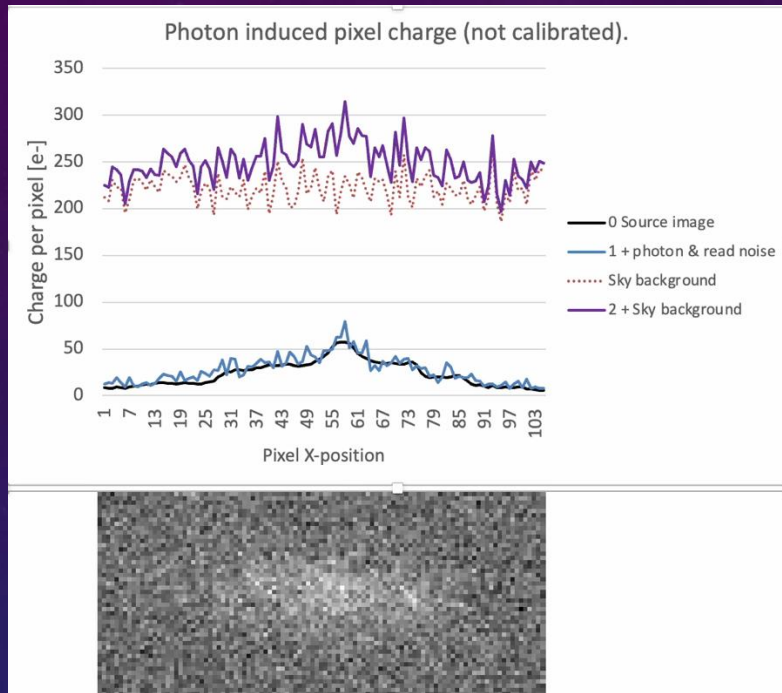
- Uitleesruis camera
- Thermische ruis camera
- Poisson- of signaalruis

- Atmosferische achtergrondruis

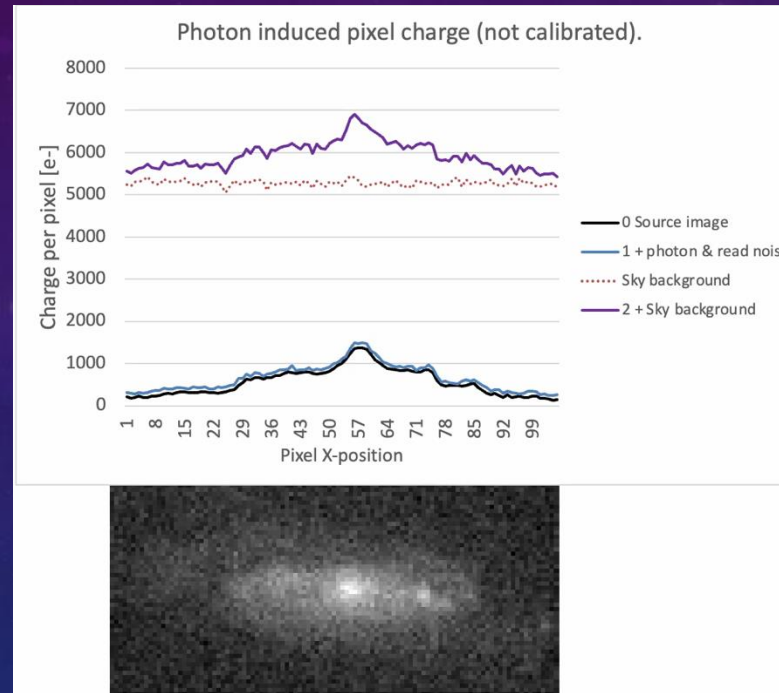
Beter Signaal/Ruis door:

- Optimalisatie van belichtingstijd per subframe
- Koelen camera
- Grotere telescoop
- Langer belichten
- Meer Flats en Darks
- Donkere locatie

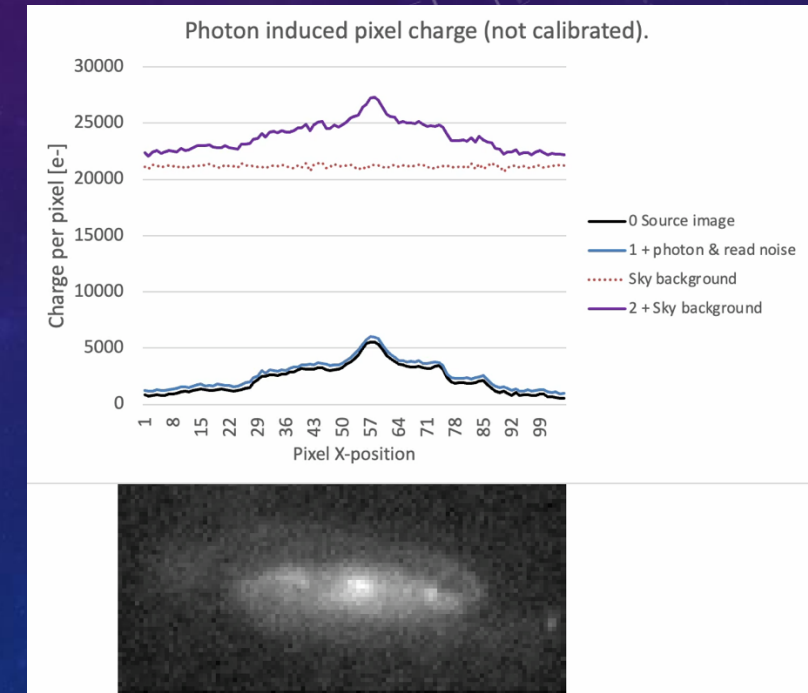
LANGER BELICHTEN → HOGER SIGNAAL/RUIS



240 s ($x = 1$)



1.6 h ($x = 24$) → 5x betere S/N



6.4 h ($x = 96$) → 10x betere S/N

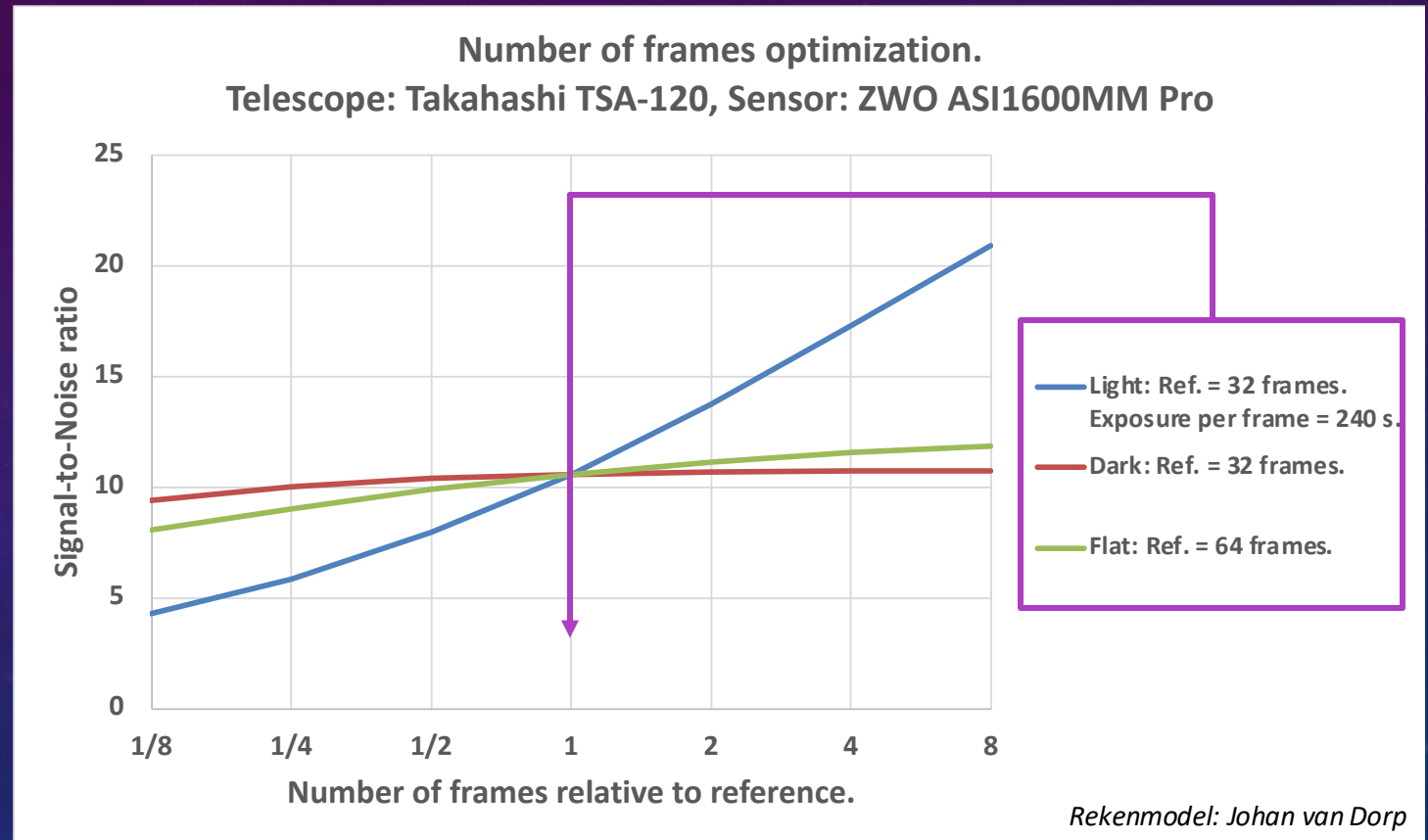
$$\text{Signal: } S_{stack} = x \cdot S_{single}$$

$$\text{Noise: } N_{stack}^2 = x \cdot N_{single}^2$$

$$\text{Signal - to - Noise: } \left(\frac{S}{N}\right)_{stack} = \sqrt{x} \cdot \left(\frac{S}{N}\right)_{single}$$

VOLDOENDE *DARK-* EN *FLAT* FRAMES

- Het aantal *Dark-* of *Flat* frames wordt gevarieerd rond de referentiewaarde.
- Conclusie:
 - *De grootste winst valt te halen door meer Light Frames.*
 - *Het aantal Dark- en Flat frames is hier voldoende.*

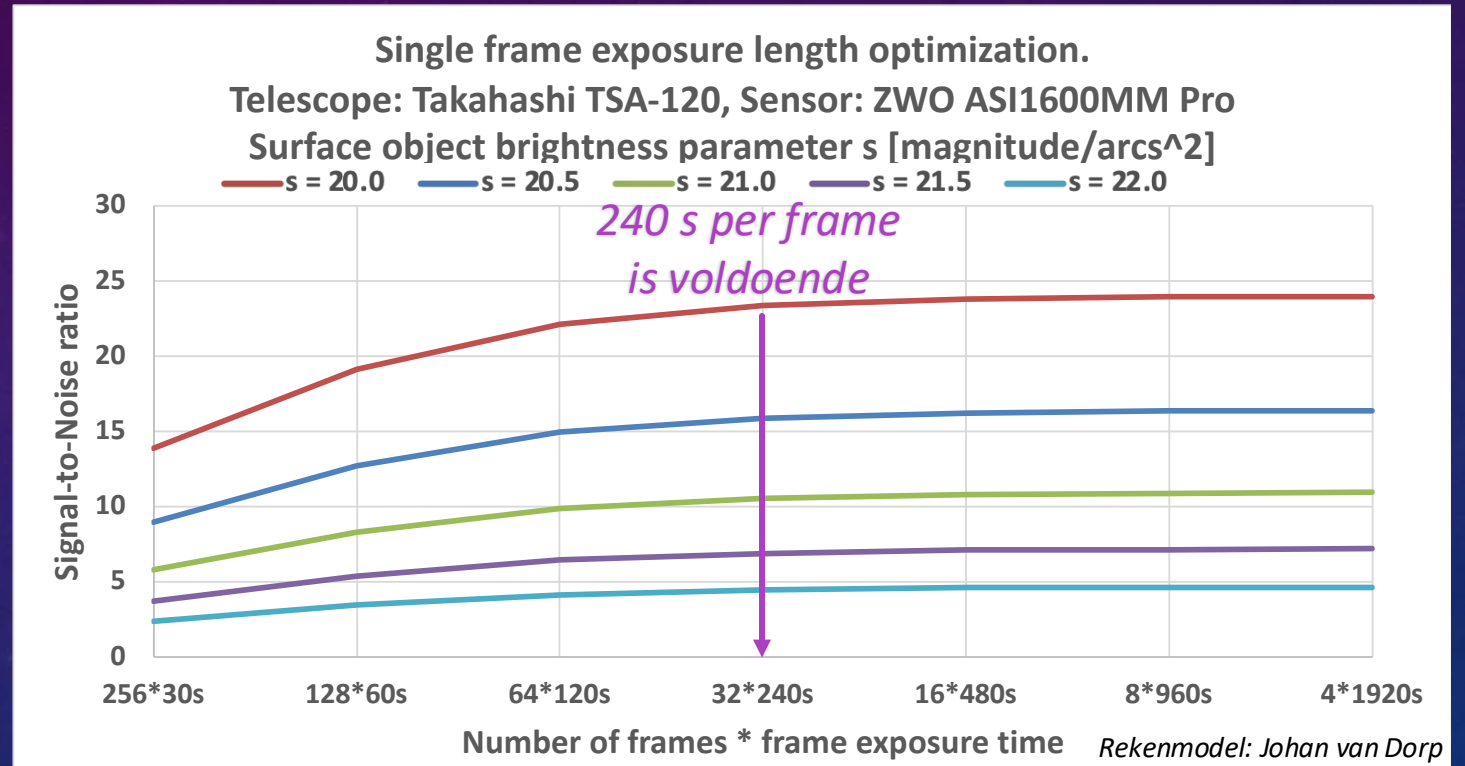


S/N verhouding van zwakke flank van een sterrenstelsel (magnitude 22.5/arcsec²) met dezelfde belichtingstijd.

240 s BELICHTING PER FRAME IS OPTIMAAL (ASI1600)



- Uitleesruis is lager bij minder opnamen, langer belicht.
- 2x zoveel opnamen levert 1 *bit* extra dynamiek.
- Meer opnamen goed voor *dithering* en *filteren* van artefacten als satellieten.

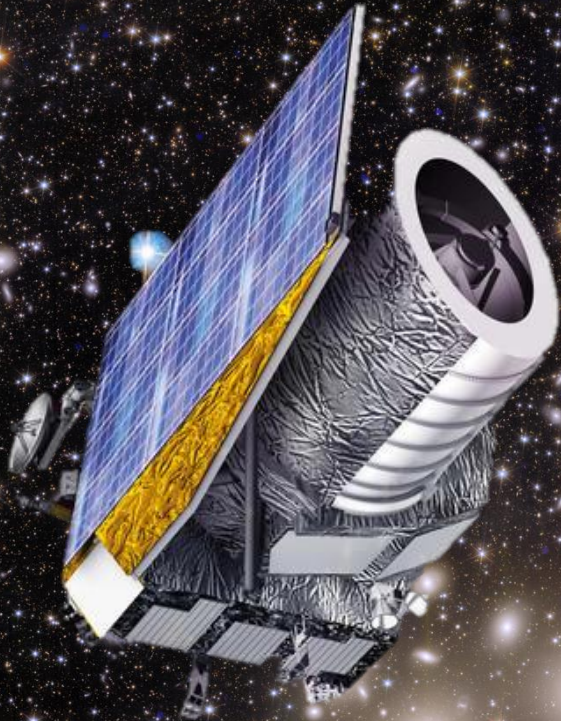


Totale belichtingstijd hetzelfde (7680 s)

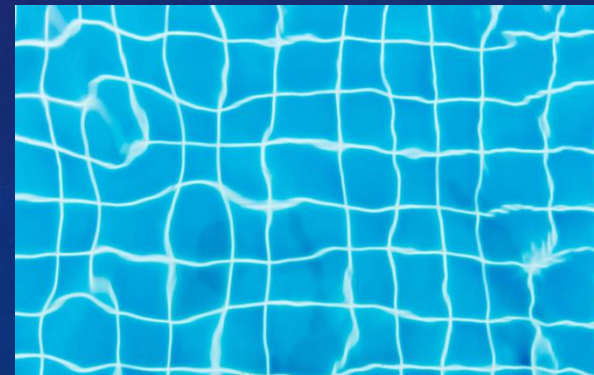


GRAVITATIE EN DE RING

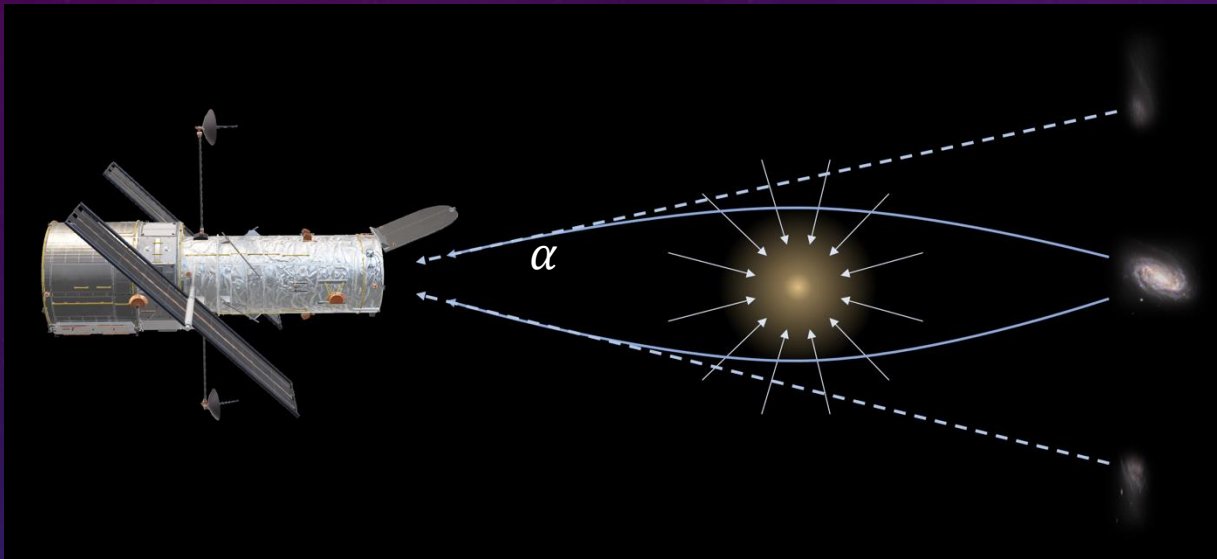
ACTUEEL: EUCLID



- 1.2 meter telescoop op L2 locatie
- Gelanceerd in juli 2023
- Waarom dijt het heelal versneld uit?
- Wat de bron is van donkere materie en energy?
- Effect van gravitatie lenswerking
- Vervorming van de ruimte-tijd:

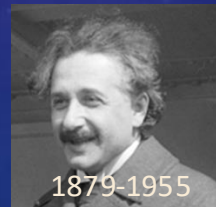


GRAVITATIE EN DE RING



Buiging van licht door vervorming van ruimte en tijd (Einstein)

Grote massa [M] bij invalsafstand [b]: $\alpha = \frac{4G M}{c^2 b}$



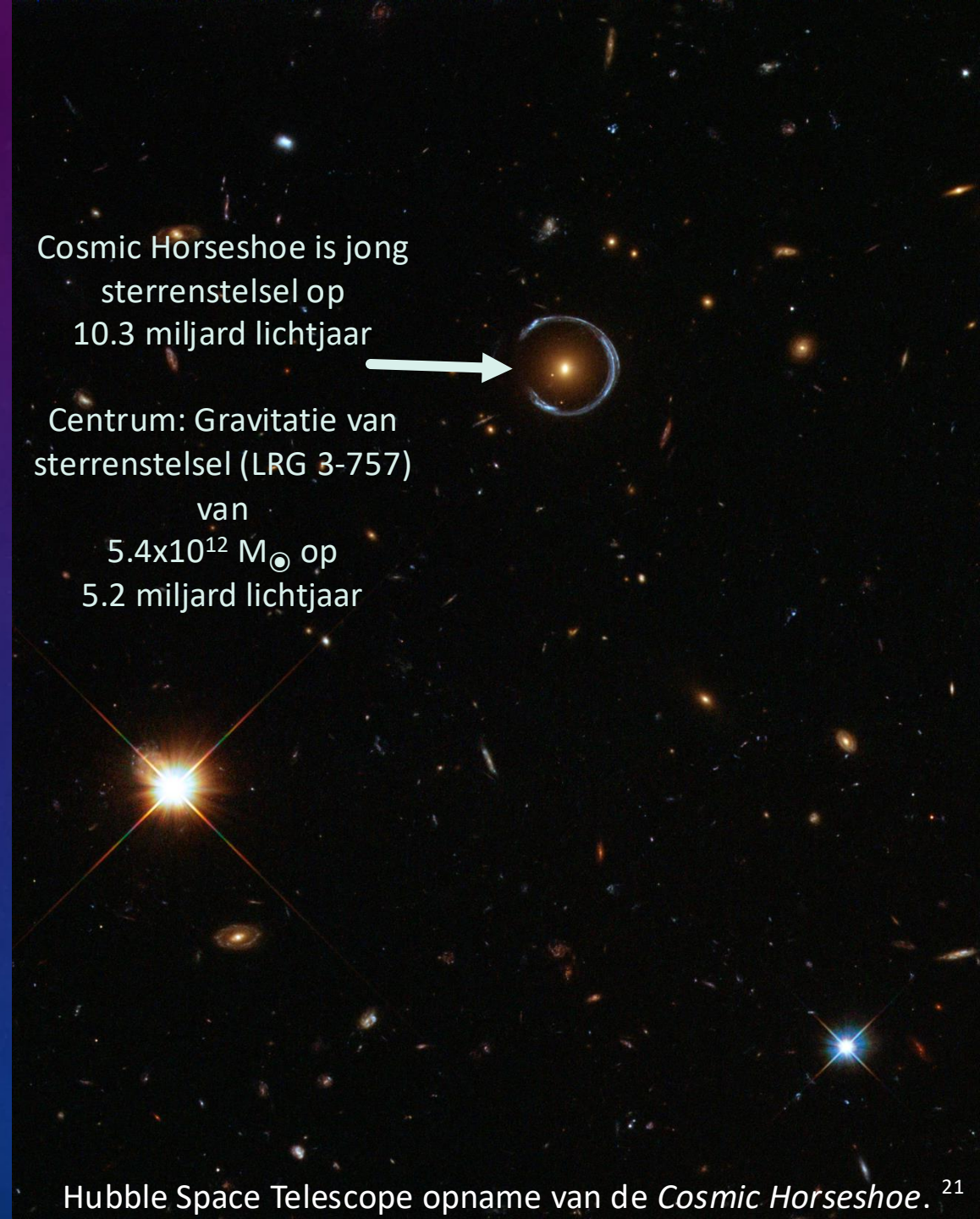
$G = \textit{Gravitatie constante} = 6.6743 \times 10^{-11} \text{ m}^3 \text{ kg}^{-1} \text{ s}^{-2}$
 $c = \textit{Lichtsnelheid in vacuum} = 299792458 \text{ m/s}$



Cosmic Horseshoe is jong sterrenstelsel op 10.3 miljard lichtjaar



Centrum: Gravitatie van sterrenstelsel (LRG 3-757) van $5.4 \times 10^{12} M_{\odot}$ op 5.2 miljard lichtjaar

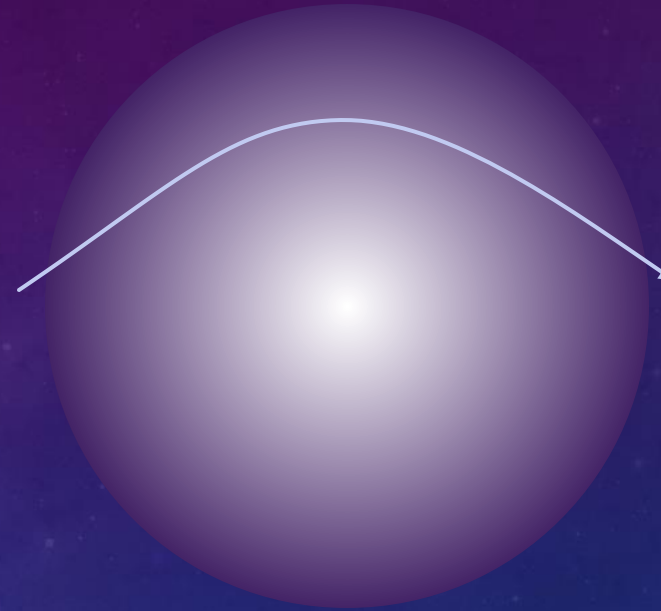
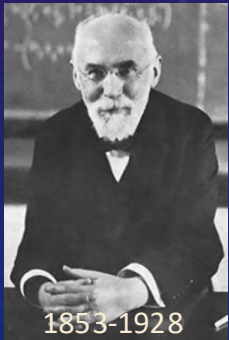


GRAVITATIE



Relativiteit (*lengtecontractie* en *tijddilatatie*) bij snelheid v komt overeen met de buiging van de *Ruimtetijd* door de gravitatie van een massa M op afstand r :

Lorentz-factor:
$$\gamma = \frac{1}{\sqrt{1 - \frac{v^2}{c^2}}} = \frac{1}{\sqrt{1 - \frac{2GM}{rc^2}}}$$

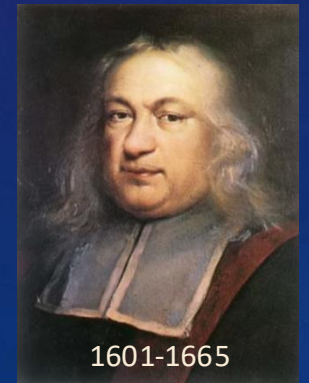


Principe van Fermat:

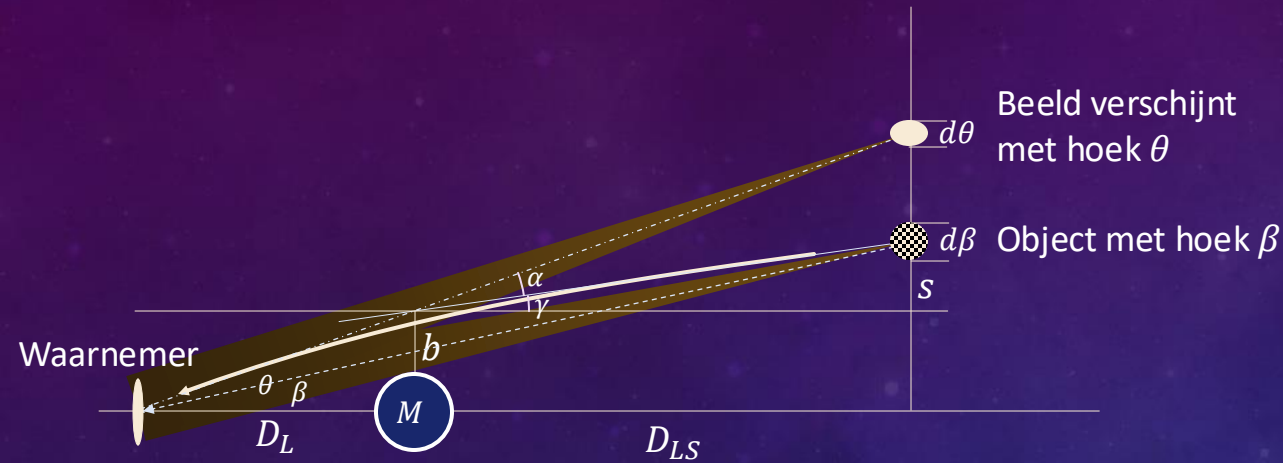
De weg die een lichtstraal tussen twee punten aflegt, is die welke in de kortste tijd afgelegd wordt.

Dit geldt bij media waar de lichtsnelheid verandert (lenzen) maar ook voor ruimtekromming door een zware massa:

"Gravitational lensing"



LICHTAFBUIGING DOOR GRAVITATIE



Een object dat op een hoek van β , staat wordt waargenomen met een hoek θ omdat de massa M het licht met een hoek α afbuigt:

$$\alpha = \frac{4G M}{c^2 b}$$

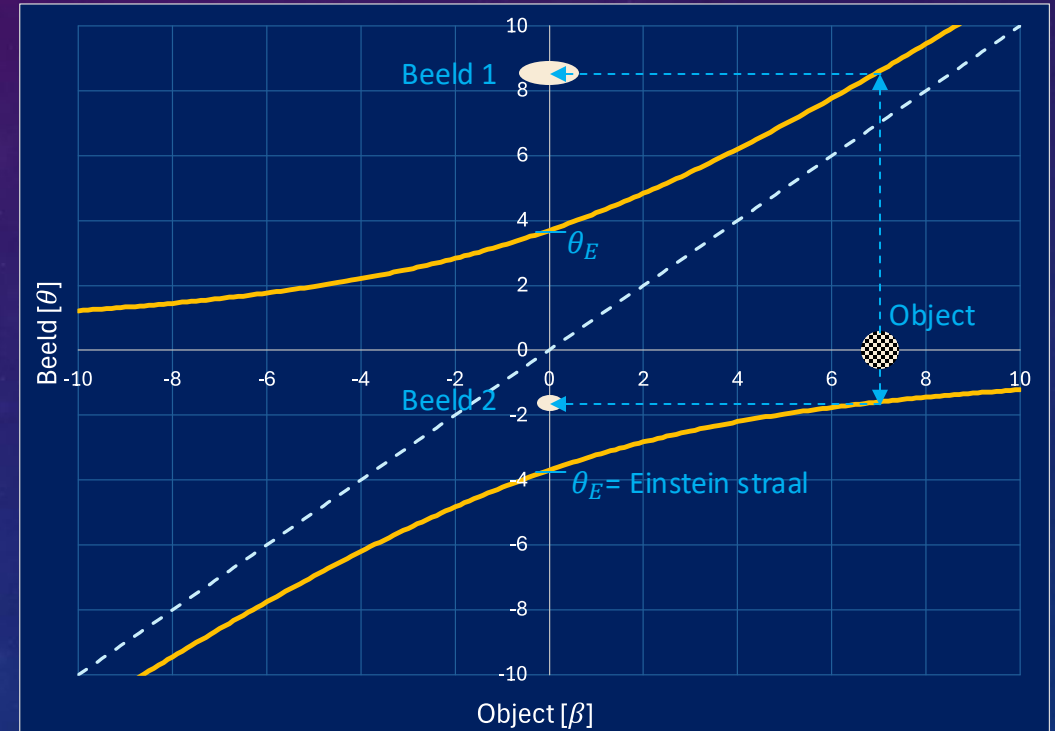
Als het object precies rechtdoor staat ($\beta = 0$) vormt het beeld in een ring met de Einstein straal: *de Cosmic Horseshoe*.

$$\theta_E = 8.8E20 \text{ m of } 3.7''$$

Niet te verwarren met de Schwarzschildstraal waar de ontsnappingssnelheid gelijk aan de lichtsnelheid is:

$$r_s = \frac{2GM}{c^2} = 1.6E16 \text{ m of } 0.000067''$$

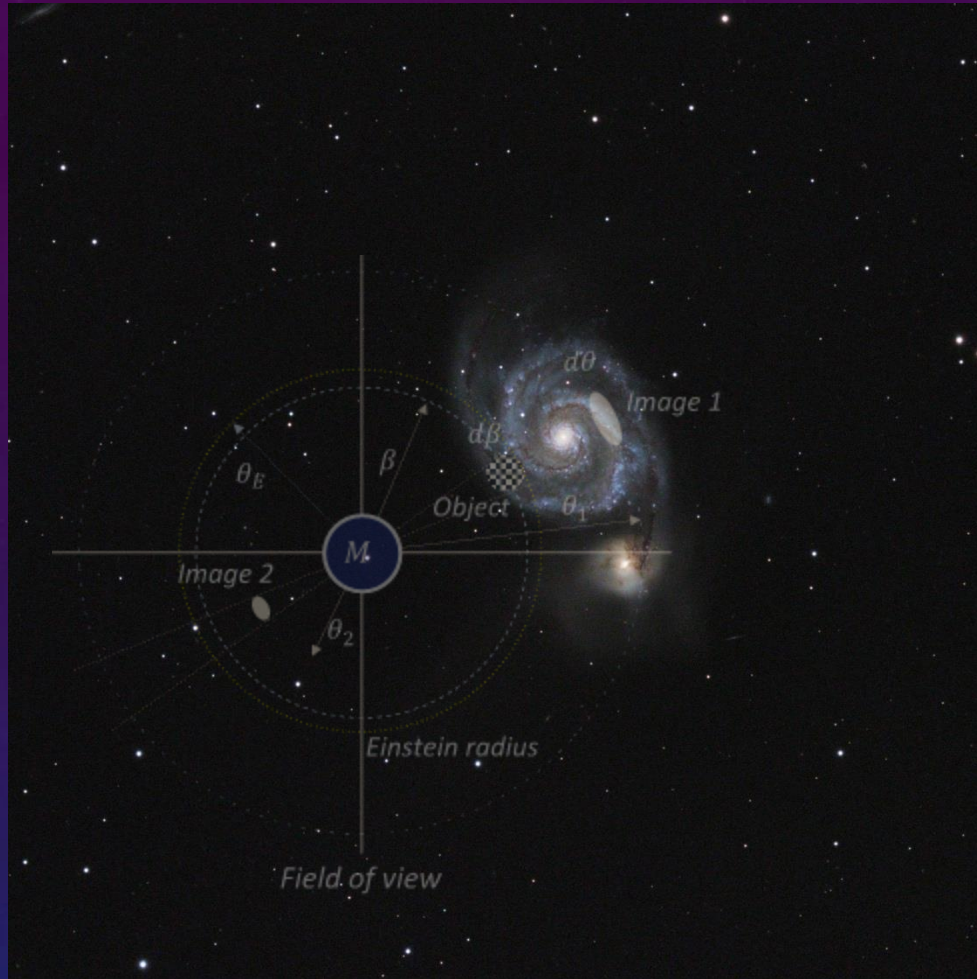
$$\beta = \theta - \frac{\theta_E^2}{\theta}$$



*Simulatie van een zware massa dat
voor M51 beweegt.*



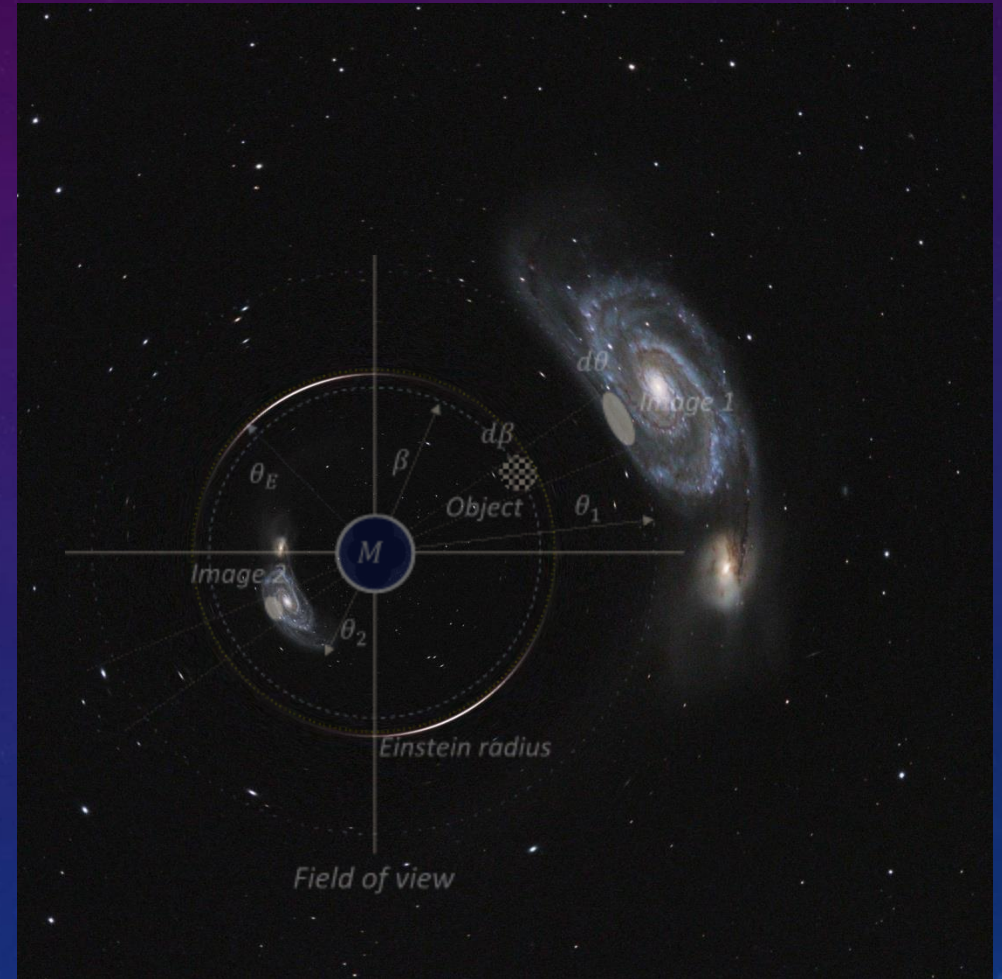
Achtergrond Object, M51, volkomen niet op schaal!



Simulatie



Waargenomen beeld

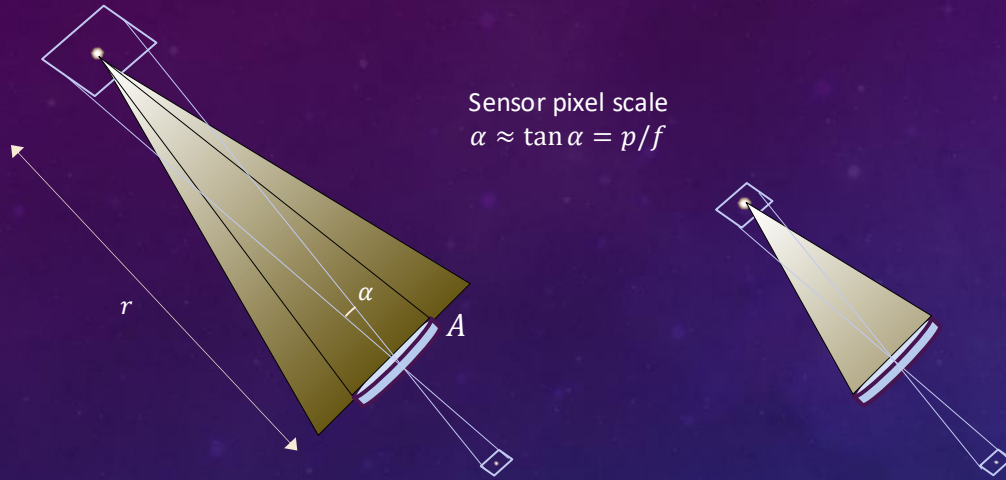


VERSTERKT EEN GRAVITATIELENS?



Referentie: Koen Kuijken

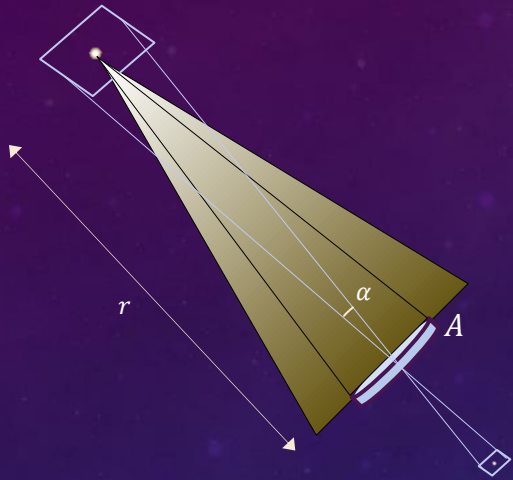
Ster (puntbron)



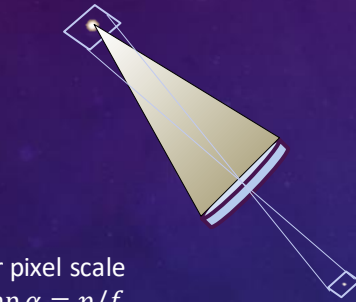
De hoeveelheid sterlicht gedetecteerd door een sensor is onafhankelijk van de ruimtehoek α .

Een ster dichterbij schijnt helderder met $\frac{1}{r^2}$.

Ster (puntbron)



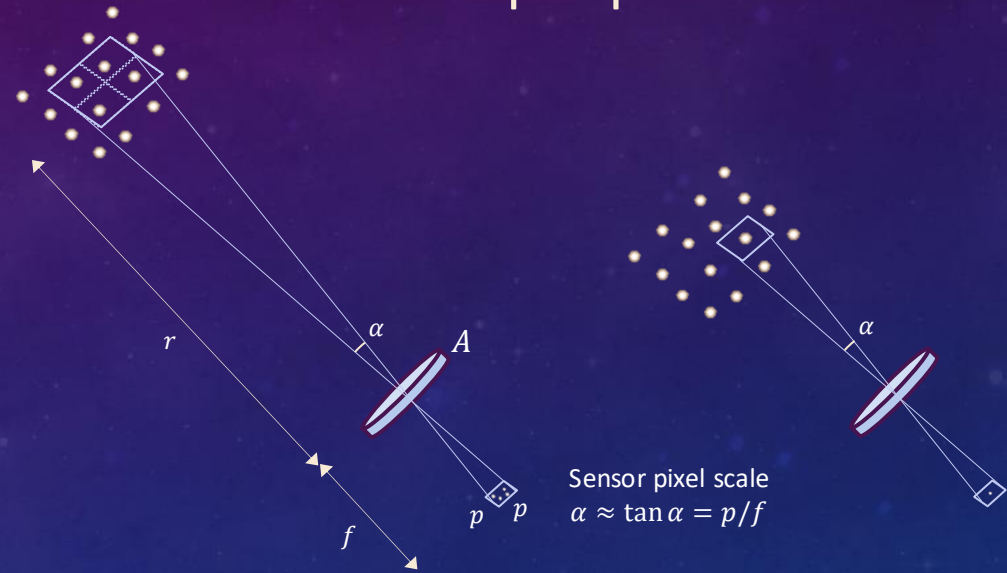
Sensor pixel scale
 $\alpha \approx \tan \alpha = p/f$



Een ster dichterbij schijnt helderder met $\frac{1}{r^2}$.

De hoeveelheid sterlicht gedetecteerd door een sensor is onafhankelijk van de ruimtehoek α .

Een sterrenstelsel heeft een oppervlaktehelderheid, zeg: 1 ster per pixel



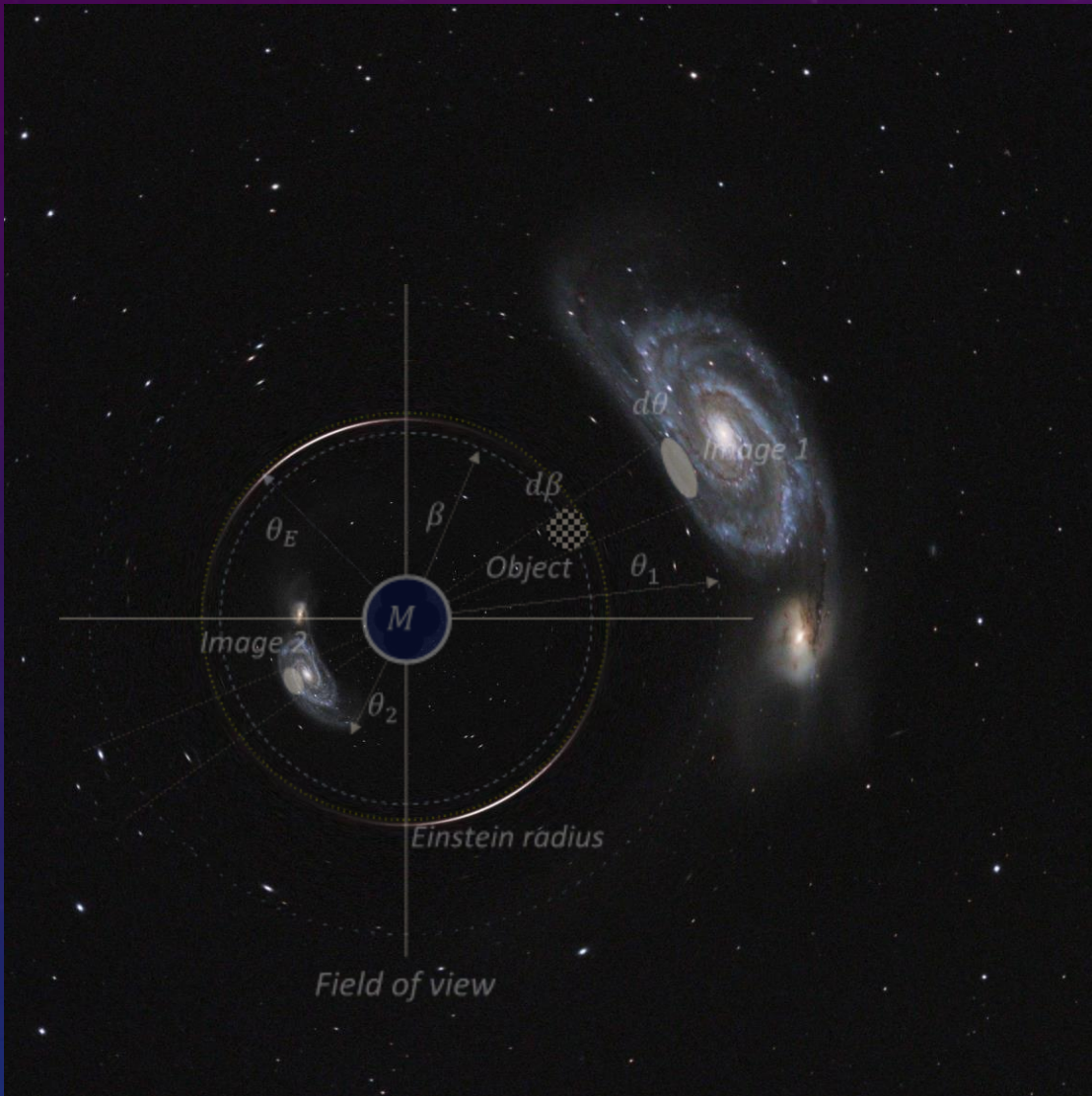
Sensor pixel scale
 $\alpha \approx \tan \alpha = p/f$

Een grotere pixel, vangt meer licht van de nevel.

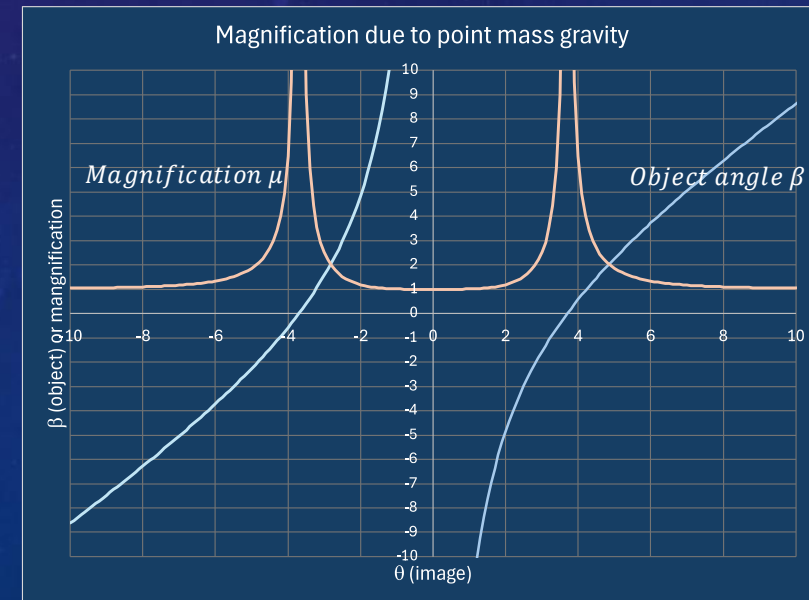
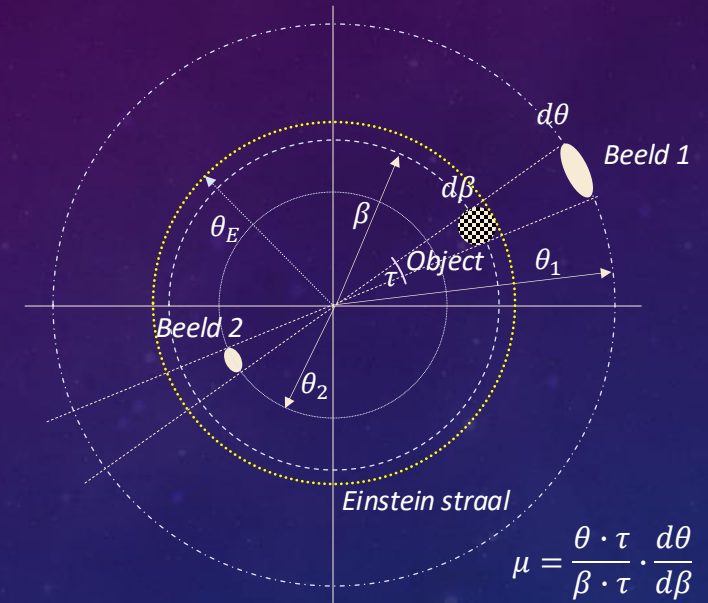
Is de nevel dichterbij, dan is het gebied per pixel kleiner. Dat gebied schijnt wel helderder.

De oppervlaktehelderheid verandert niet voor de waarnemer!
Ook niet als de lichtweg wordt vervormd.

Ster (puntbron)

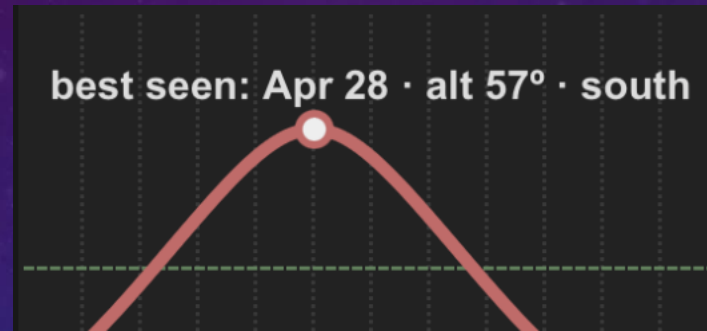


Een ster schijnt als puntbron maar de *totale* hoeveelheid licht wordt groter omdat het sterlicht wordt uitgerekt tot een ring bij een objecthoek $\beta = 0$.



WAAR STAAT DE *COSMIC HORSEHOE*?

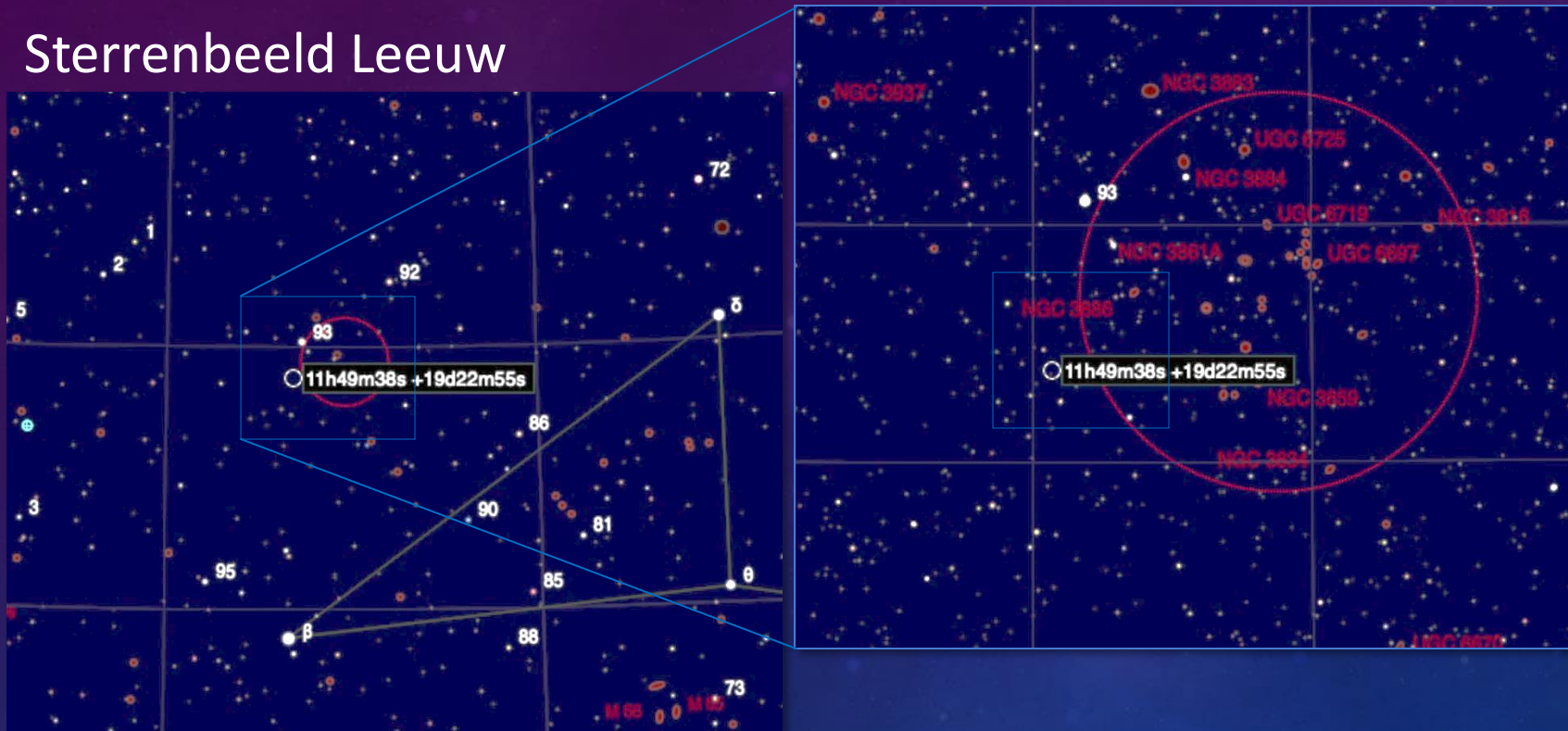
Sterrenbeeld Leeuw



Zichtbaarheid van Cosmic Horseshoe in Nederland 22:00.

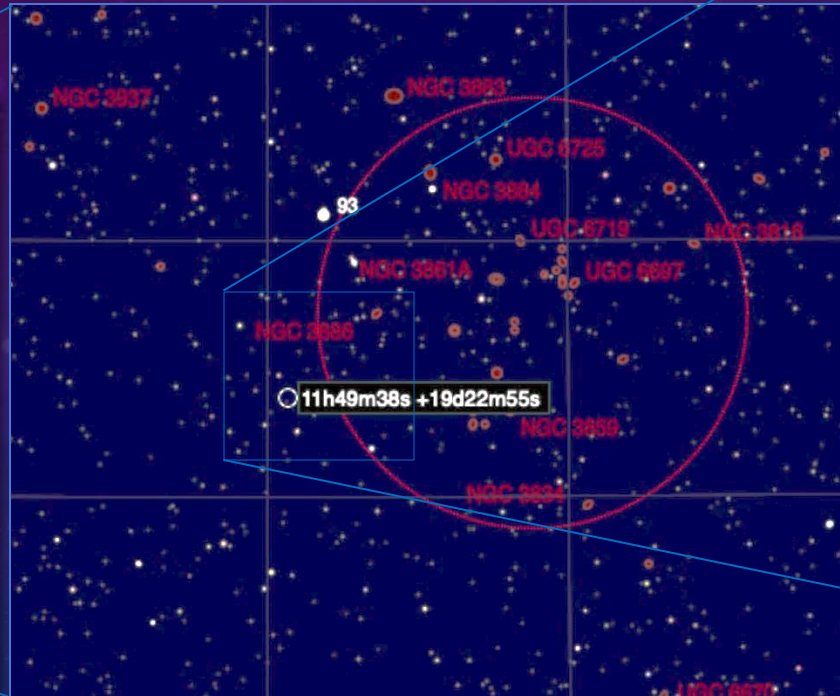
WAAR STAAT DE *COSMIC HORSEHOE*?

Sterrenbeeld Leeuw



WAAR STAAT DE *COSMIC HORSEHOE*?

Sterrenbeeld Leeuw

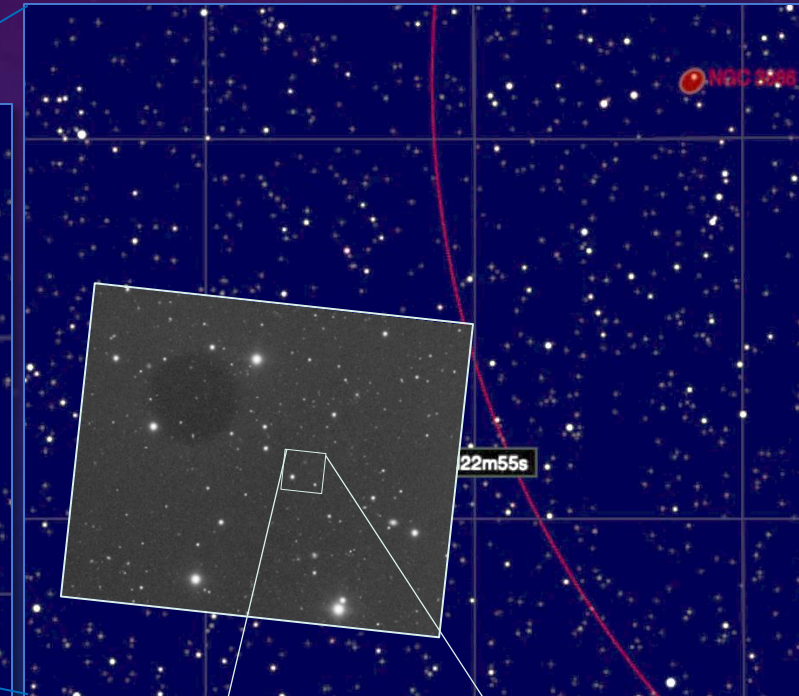
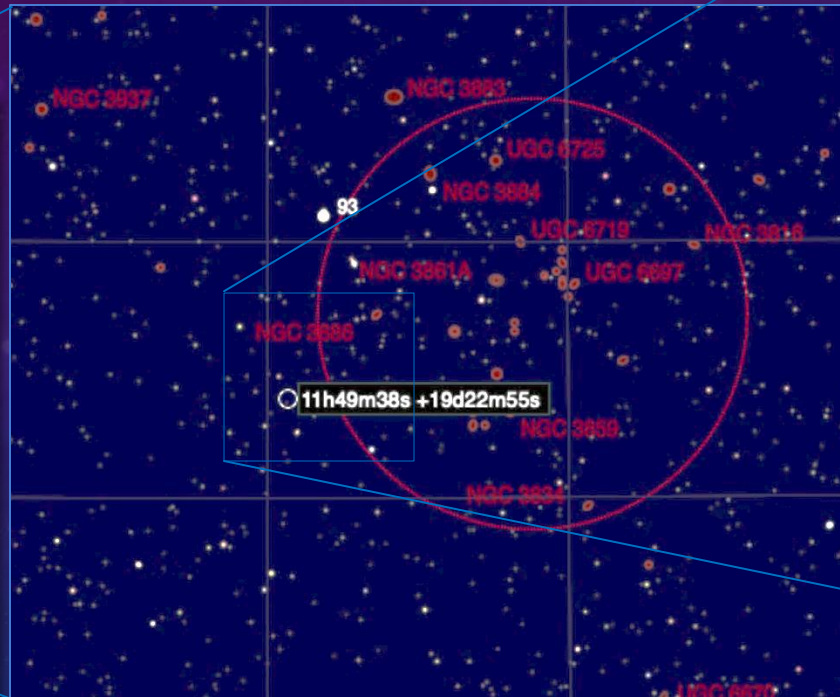


$11^{\text{h}} 49^{\text{m}} 38^{\text{s}} + 19^{\text{d}} 22^{\text{m}} 55^{\text{s}}$

WAAR STAAT DE *COSMIC HORSEHOE*?

De Cosmic Horseshoe is magnitude 20.3 (roodverschuiving $z = 2.379$)

Sterrenbeeld Leeuw



8 h met 120 mm refractor:



120 mm refractor
0.88" / pixel



10"

Cosmic
Horseshoe?

Hubble Space Telescope
0.04" / pixel

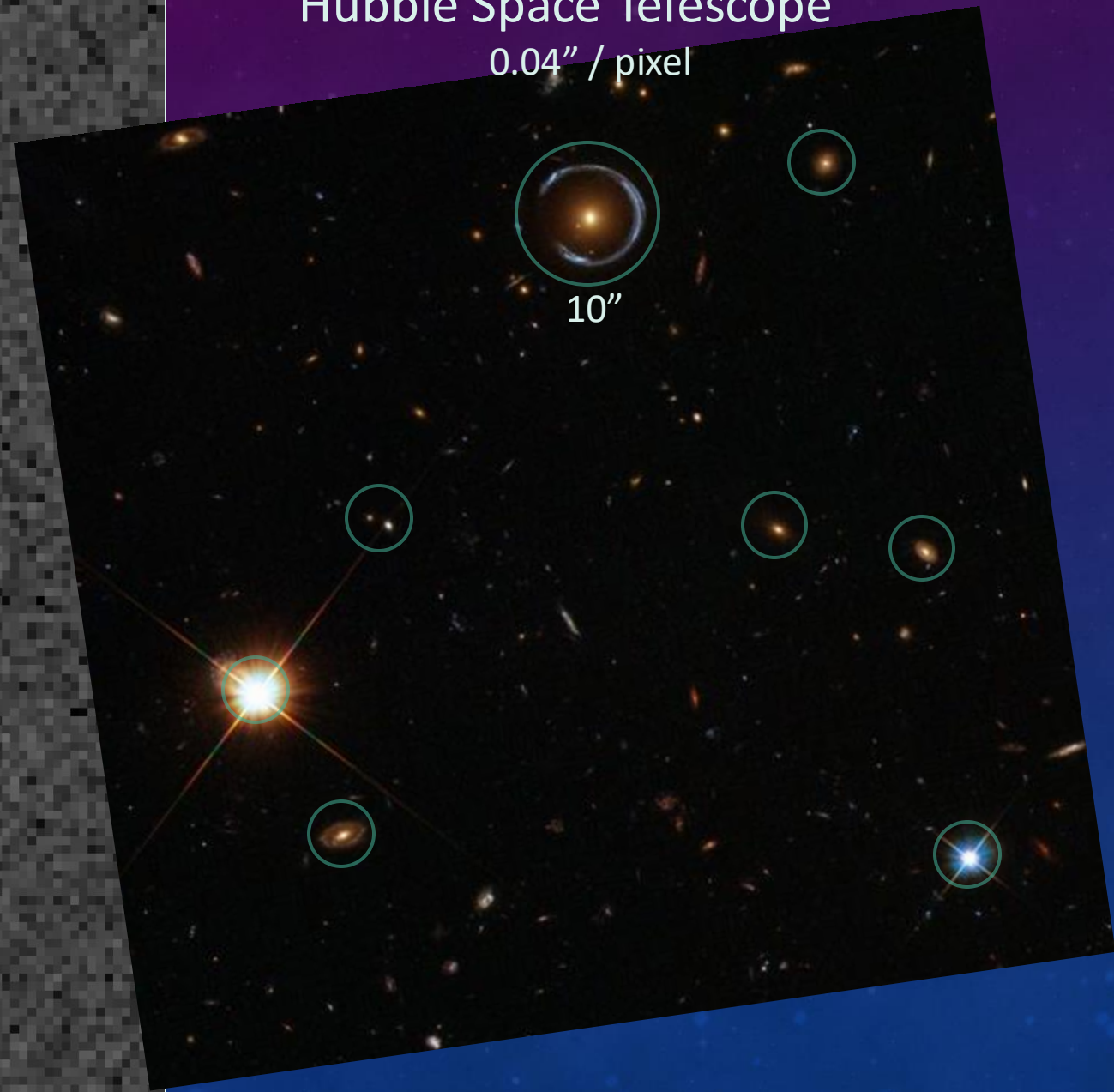


120 mm refractor
0.88" / pixel



Cosmic
Horseshoe?

Hubble Space Telescope
0.04" / pixel



10"

120 mm refractor
0.88" / pixel

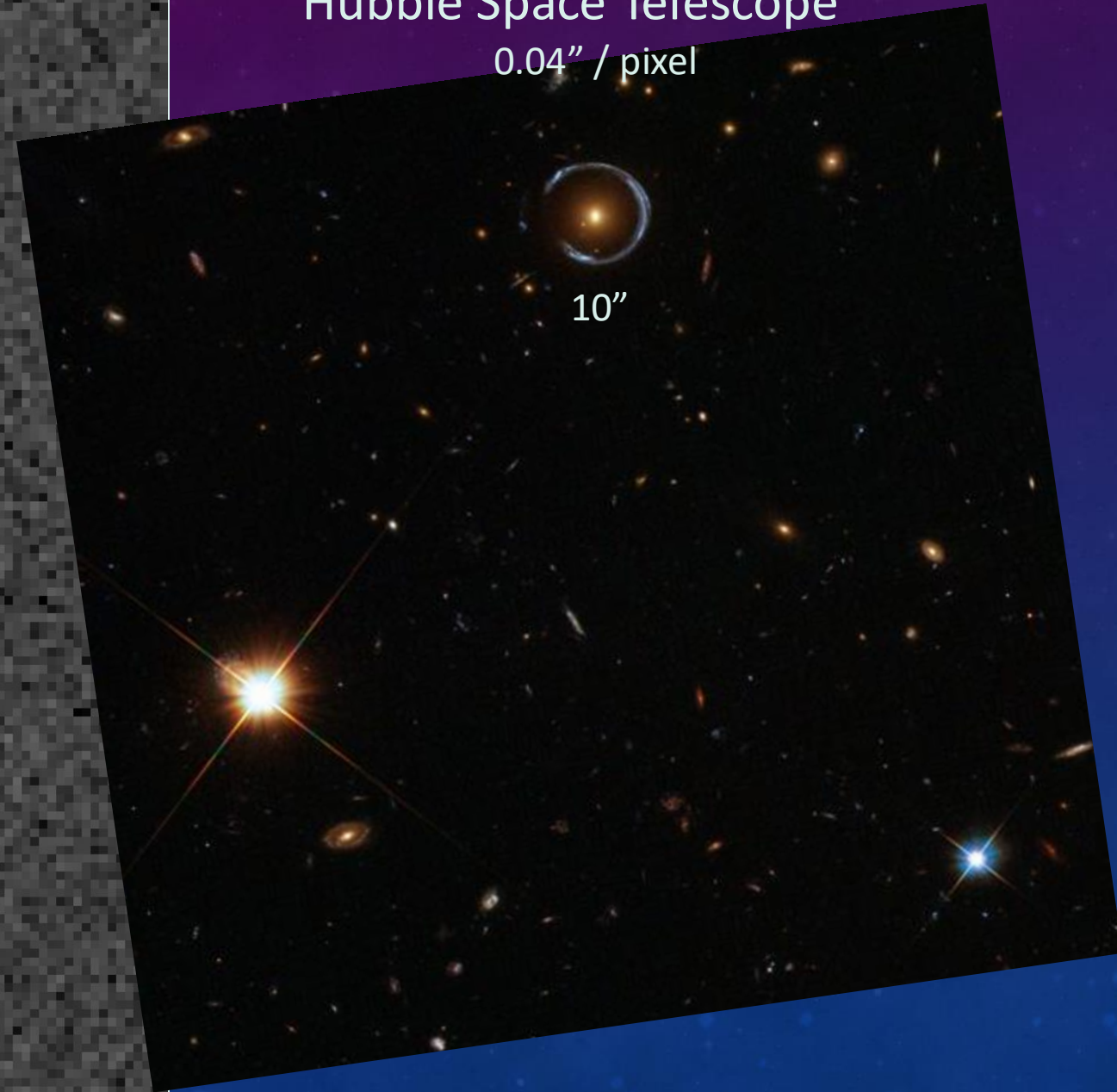


10"

Cosmic
Horseshoe?

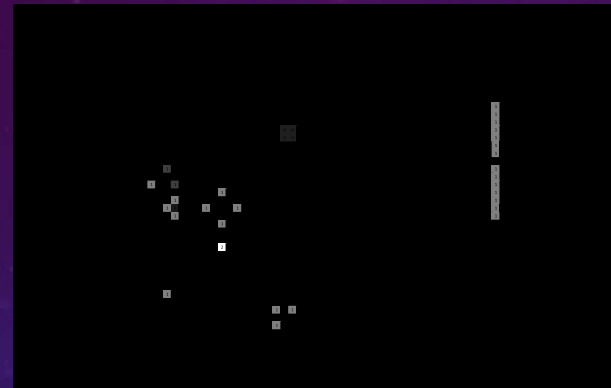
Kunnen we dit beeld van de
ring scherper maken met
deconvolutie?

Hubble Space Telescope
0.04" / pixel

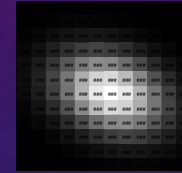


WAT IS DECONVOLUTIE?

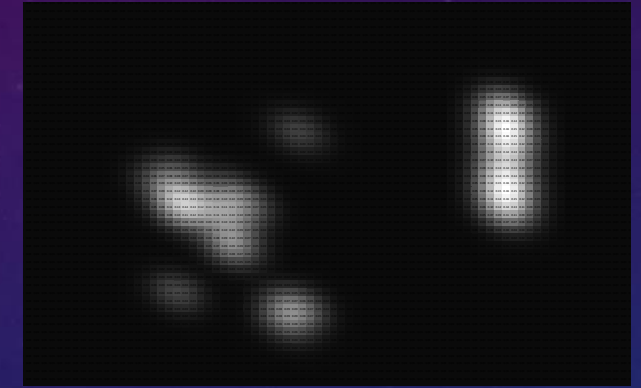
Convolutie:



Object $f(x, y)$



Dispersie $g(i, j)$



*Beeld $d(x, y) = f * g$*

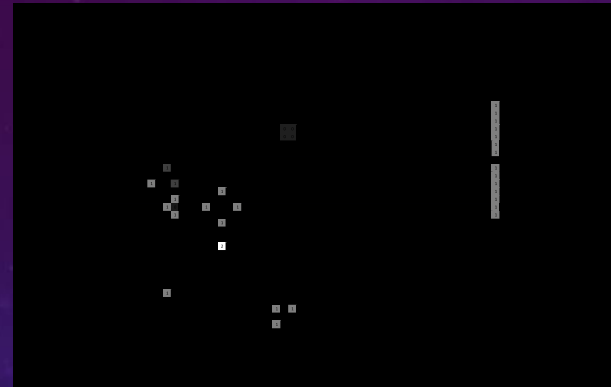


Dispersie, bijvoorbeeld:

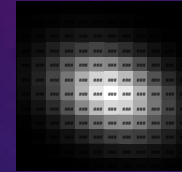
- *Onscherpte door atmosfeer*
- *Onscherpte door optiek*
- *Bewogen beeld*
- *Willekeurige andere vervormingen*

WAT IS DECONVOLUTIE?

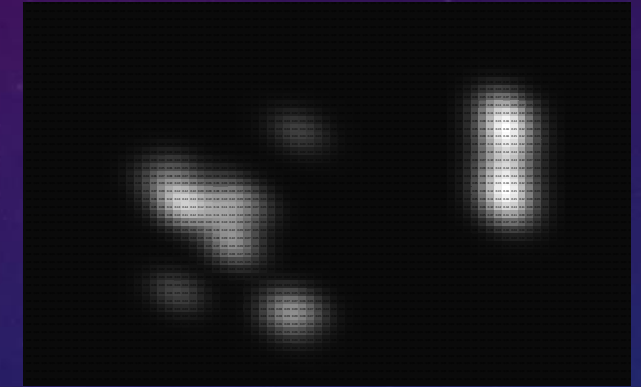
Convolutie:



Object $f(x, y)$



Dispersie $g(i, j)$



Beeld $d(x, y) = f * g$



Convolution: matrix multiplication of source image with point spread function to simulate dispersion effect of atmosphere and optics.

BEREKENINGEN IN EXCEL

Point Spread Function parameters at FWHM = 1

Sampling	1.5 pixels per atmosphere
FWHM(x)	1 pixels
σ_x	234797 pixels/arcsec
FWHM(y)	1 pixels
σ_y	234797 pixels/arcsec
θ	0.0000 radians
σ_{xy}	0.0000 radians

$$d(x, y) = (f * g)(x, y) = \iint_{-\infty}^{\infty} f(x - \tau, y - \rho)g(\tau, \rho)d\tau d\rho$$

Point Spread Function

$$FWHM = 2 \cdot \sqrt{2 \ln 2} \cdot \sigma$$
$$x' = x \cos \theta + y \sin \theta$$
$$y' = -x \sin \theta + y \cos \theta$$
$$\sigma_{x'y'} = \frac{\sigma_{xx} \sigma_{yy}}{2 \sin \theta \sigma_{xy}} e^{-\left(\frac{\sigma_{xx}^2 + \sigma_{yy}^2}{4 \sigma_{xy}^2}\right)}$$

Source image

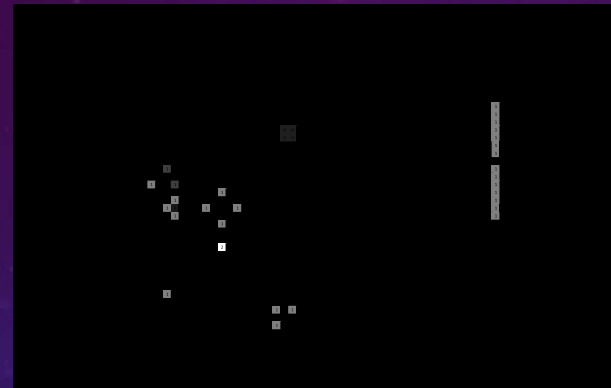
Dispersed image = convolved(Source image, Point Spread Function)

Berekeningen in Excel.

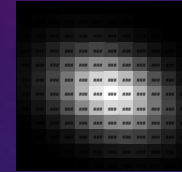
Kan ook in bijvoorbeeld Siril en PixInsight, maar berekeningen zijn dan niet transparant.

WAT IS DECONVOLUTIE?

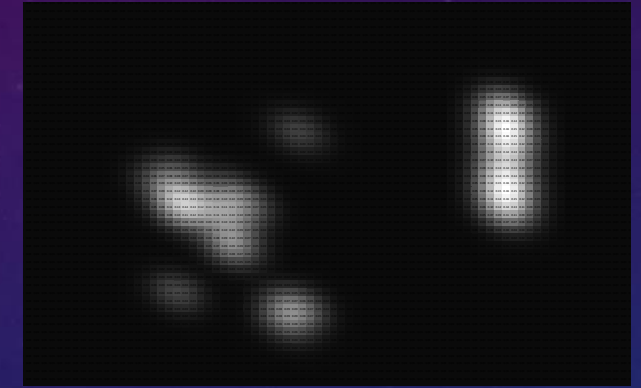
Convolutie:



Object $f(x, y)$



Dispersie $g(i, j)$



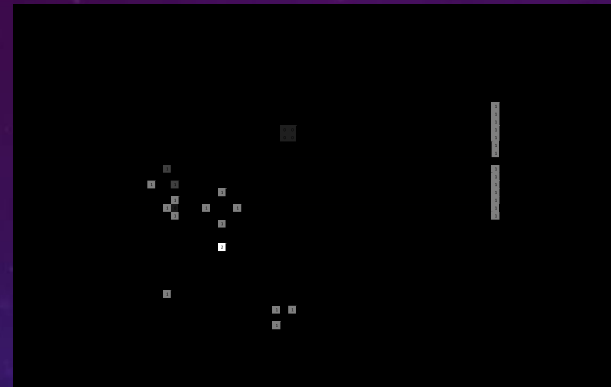
*Beeld $d(x, y) = f * g$*

Deconvolutie:

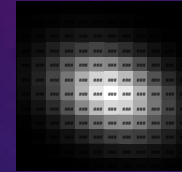
$$\frac{\text{Beeld } d(x, y) = f(x, y) * g(i, j)}{\text{Dispersie } g(i, j)} = \text{Object } f(x, y)$$

WAT IS DECONVOLUTIE?

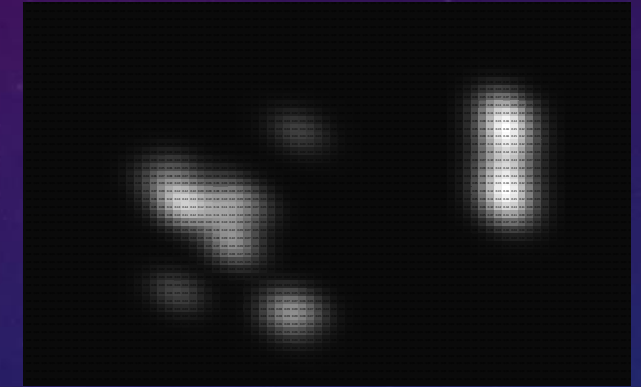
Convolutie:



Object $f(x, y)$



Dispersie $g(i, j)$



*Beeld $d(x, y) = f * g$*

Zoals een staartdeling iteratief is:

7 / 20.00 \ 2.85...

14

60

56

40

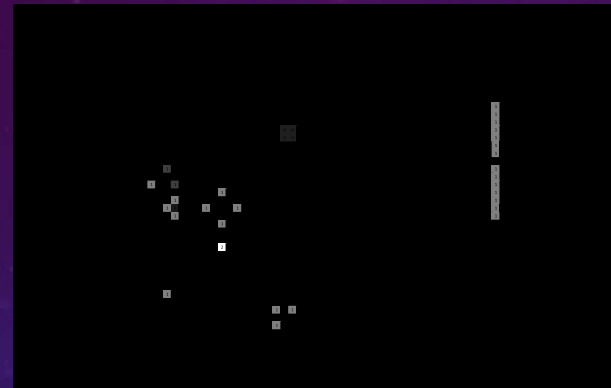
35 ...

Deconvolutie:

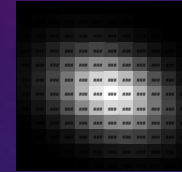
$$\frac{\text{Beeld } d(x, y) = f(x, y) * g(i, j)}{\text{Dispersie } g(i, j)} = \text{Object } f(x, y)$$

WAT IS DECONVOLUTIE?

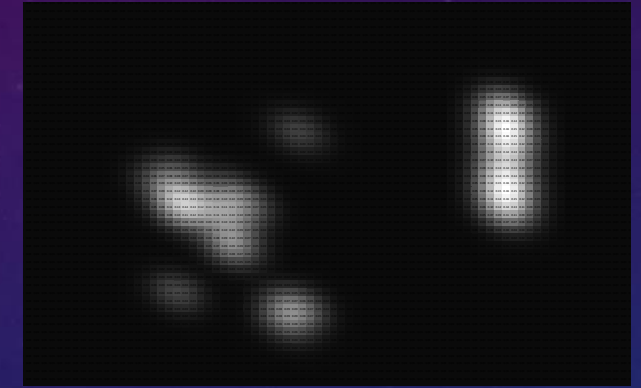
Convolutie:



Object $f(x, y)$



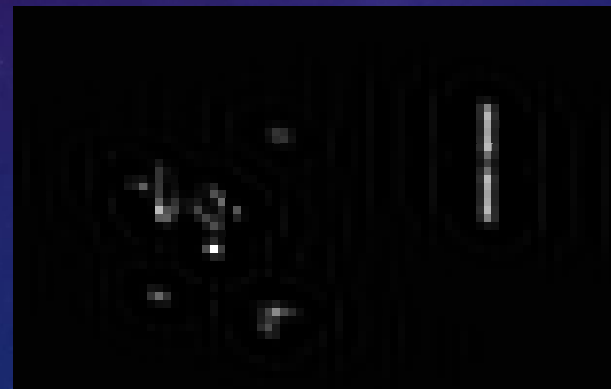
Dispersie $g(i, j)$



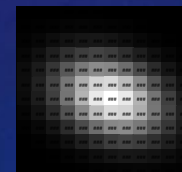
*Beeld $d(x, y) = f * g$*



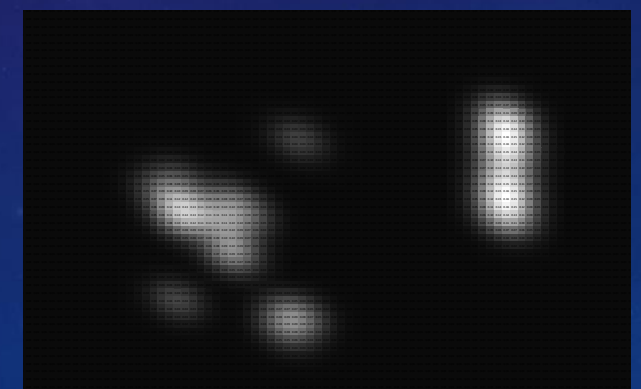
Deconvolutie:



*Geschatte Object $f'(x, y)$
(na 1000 iteraties)*



Dispersie $g'(i, j)$

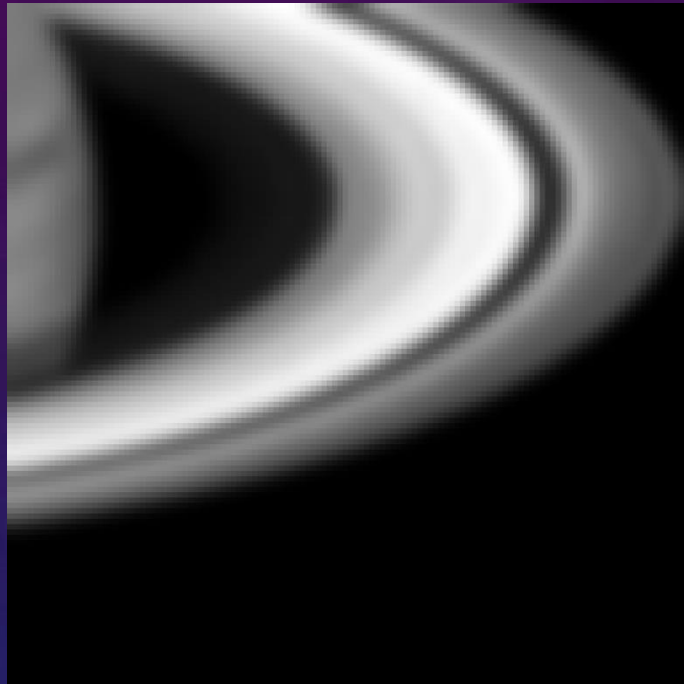


*Beeld $d'(x, y) = f' * g'$*

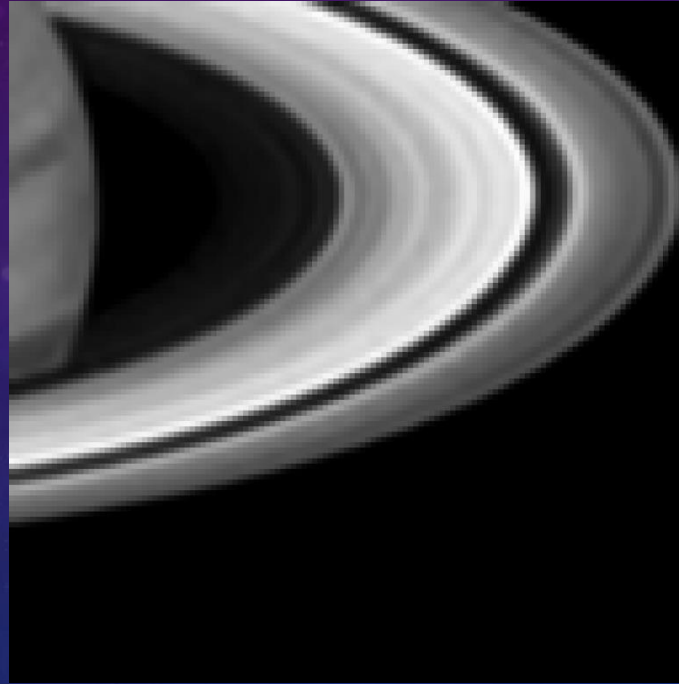


VOORBEELD DECONVOLUTIE

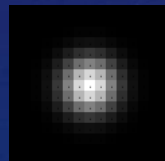
(IDEAAL – ZONDER RUIS –IN EXCEL)



Beeld
(gesimuleerde convolutie)



Beeld na deconvolutie
100 iteraties



Dispersie met *Point-Spread Function* die elk beeldpunt spreidt.

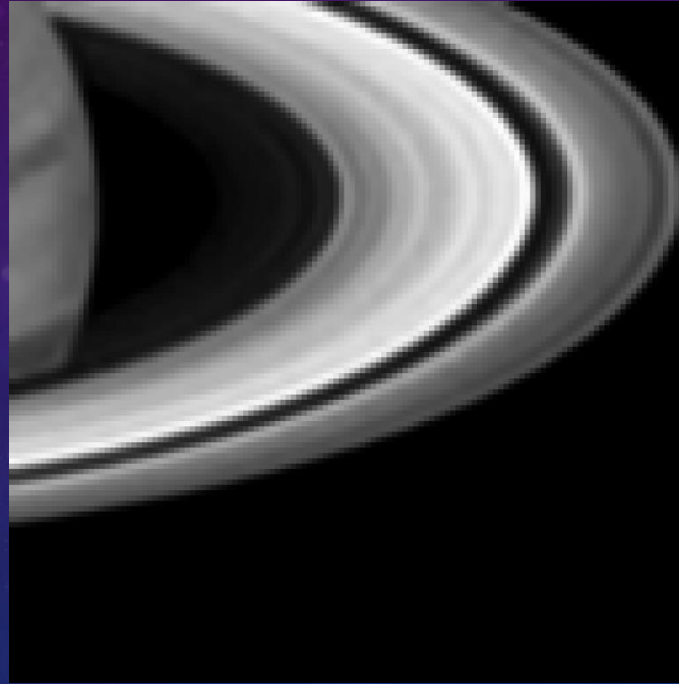
Is dit echt?

VOORBEELD DECONVOLUTIE

Ringen worden
zichtbaar; het werkt!



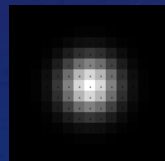
Beeld
(gesimuleerde convolutie)



Beeld na deconvolutie
100 iteraties



Oorspronkelijke object



Dispersie met *Point-Spread Function* die elk beeldpunt spreidt.

120 mm refractor
0.88" / pixel

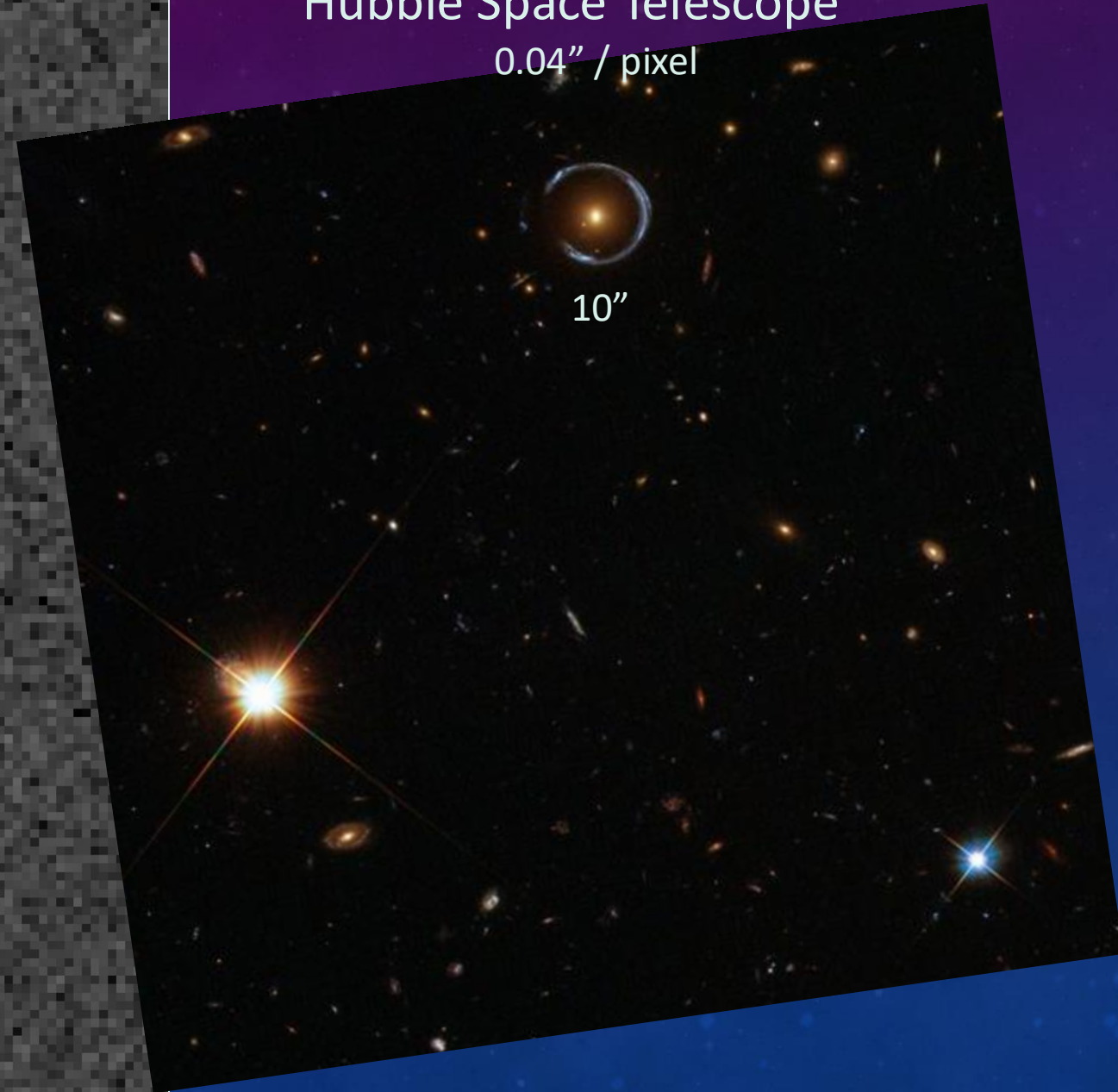


10"

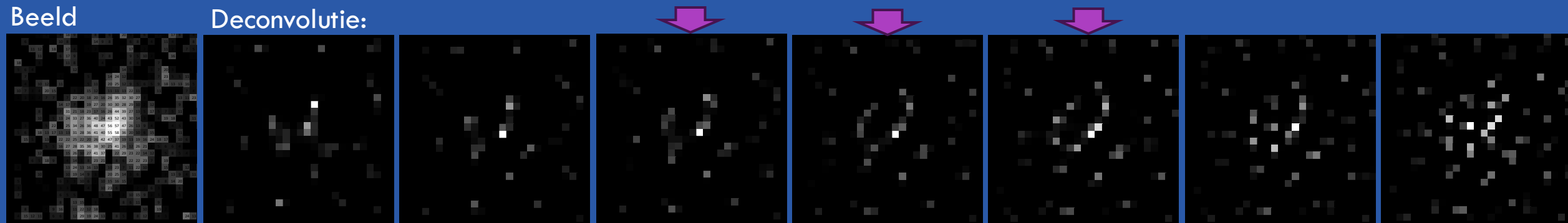
Cosmic
Horseshoe

Gestelde vraag:
Kunnen we dit beeld van de
ring scherper maken met
deconvolutie?

Hubble Space Telescope
0.04" / pixel



COSMIC HORSESHOE DECONVOLUTIE

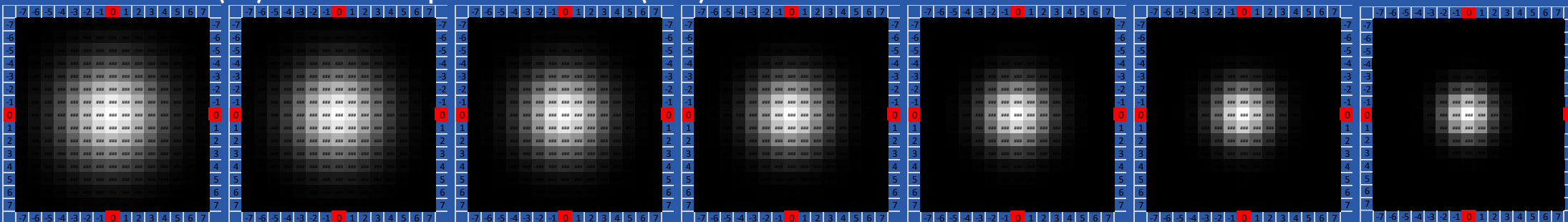


12 cm kijker

1000 Iteraties (RL) met Point-Spread Function (PSF):



HST



Zelfde schaal

FWHM 6.0 pixels

FWHM 5.5 pixels

FWHM 5.0 pixels

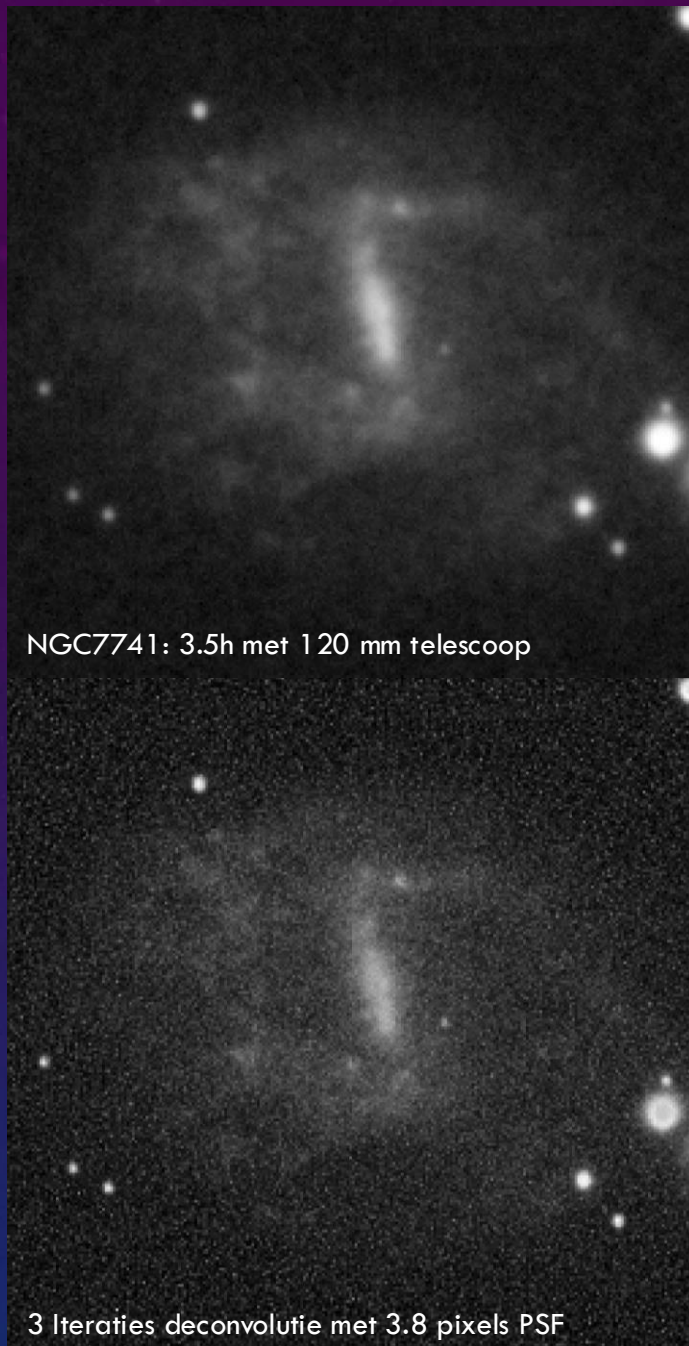
FWHM 4.5 pixels

FWHM 4.0 pixels

FWHM 3.5 pixels

FWHM 3.0 pixels

- Een PSF van als verwacht 4-5 pixels (seeing van $\sim 4''$) toont iets van een ring.
- De centrale galaxy die de ruimte-tijd vervorming veroorzaakt, is nu scherper.



CONCLUSIE

- *Deconvolutie reconstrueert het waargenomen object – ook bij de Cosmic Horseshoe,*

maar...

- *ruis wordt versterkt.*

120 mm refractor
0.88" / pixel

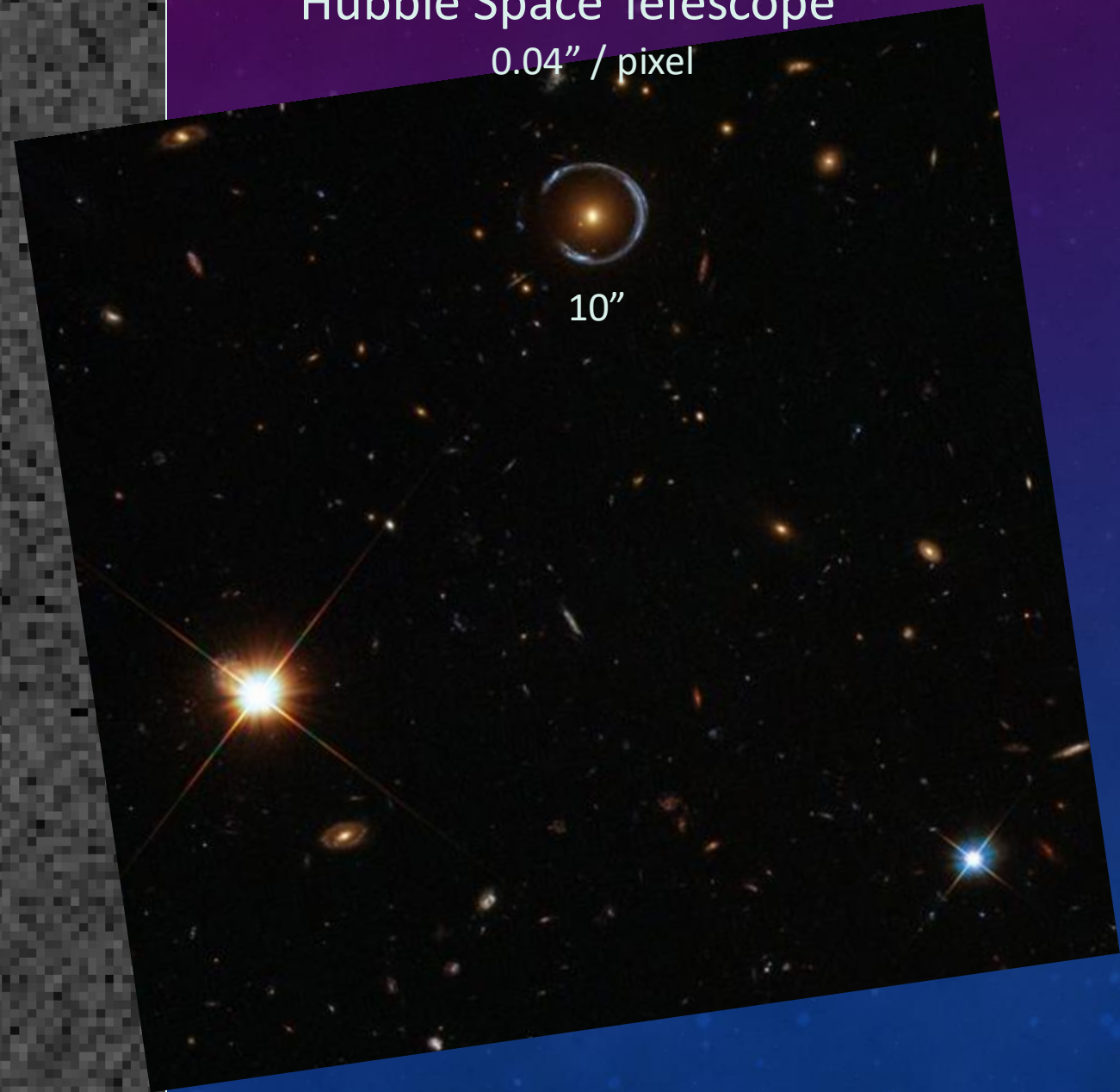


10"

Cosmic
Horseshoe?

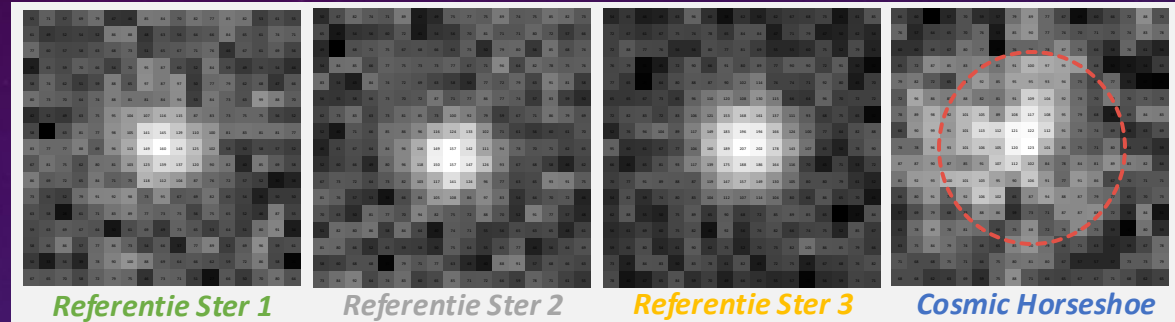
Wat zien we nu van de
Cosmic Horse Shoe?

Hubble Space Telescope
0.04" / pixel

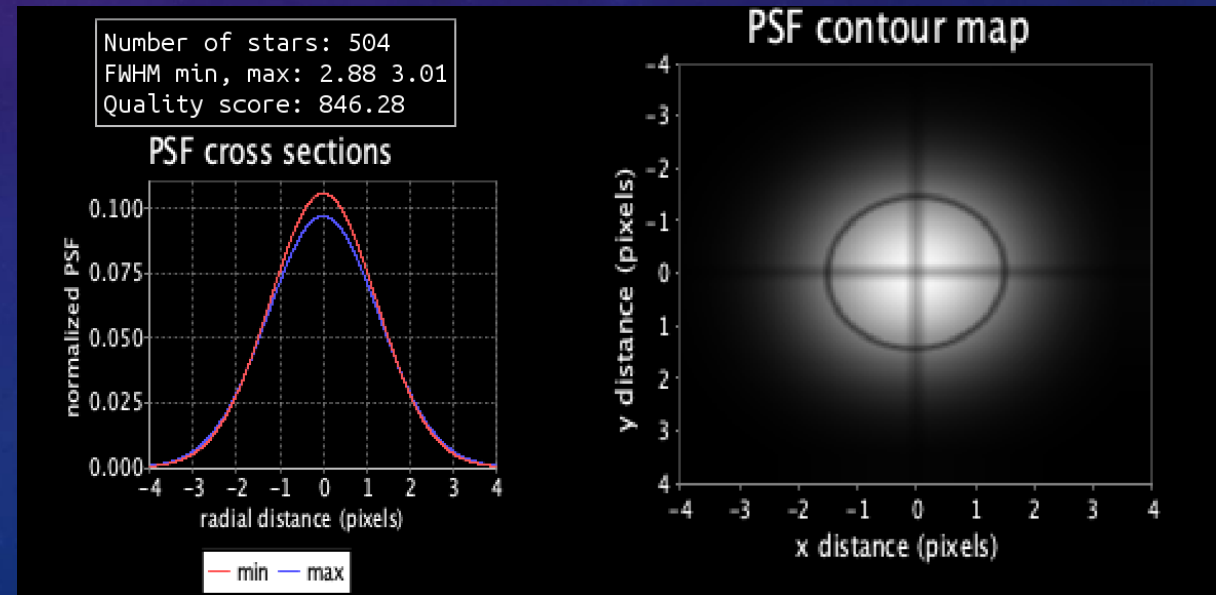


Analyse van Cosmic Horseshoe

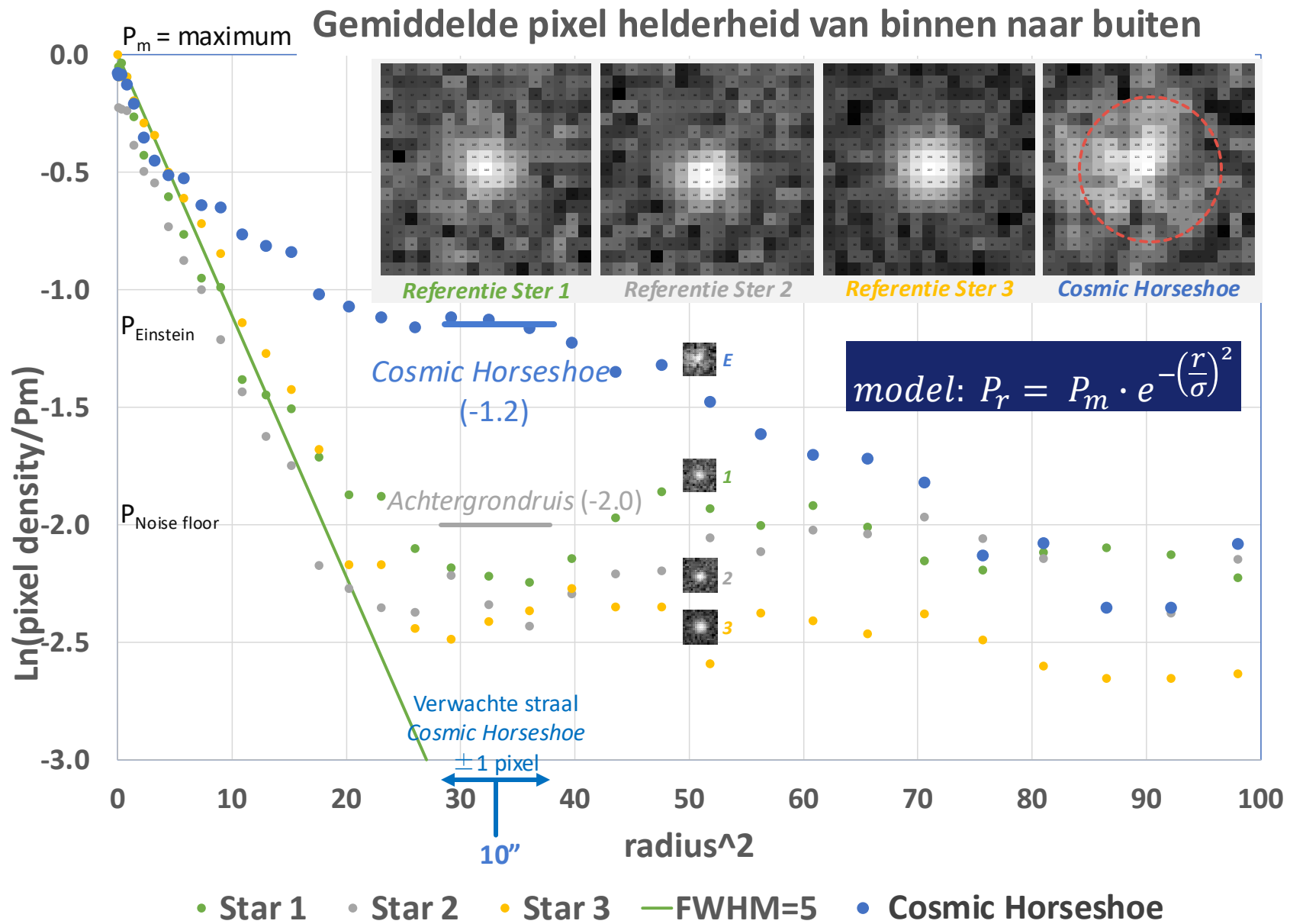
- Vergelijk met sterren
- Radiale pixel helderheid
- Gaussische verdeling



$$\text{model: } P_r = P_m \cdot e^{-\left(\frac{r}{\sigma}\right)^2}$$



PSF = Point Spread Function



Cosmic Horseshoe vergeleken met sterlichtspreiding

Uit grafiek:

$P_m = 227$ elektronen per pixel

$P_{\text{Einstein}} = 68$ elektronen per pixel

$P_{\text{Noise floor}} = 30$ elektronen per pixel

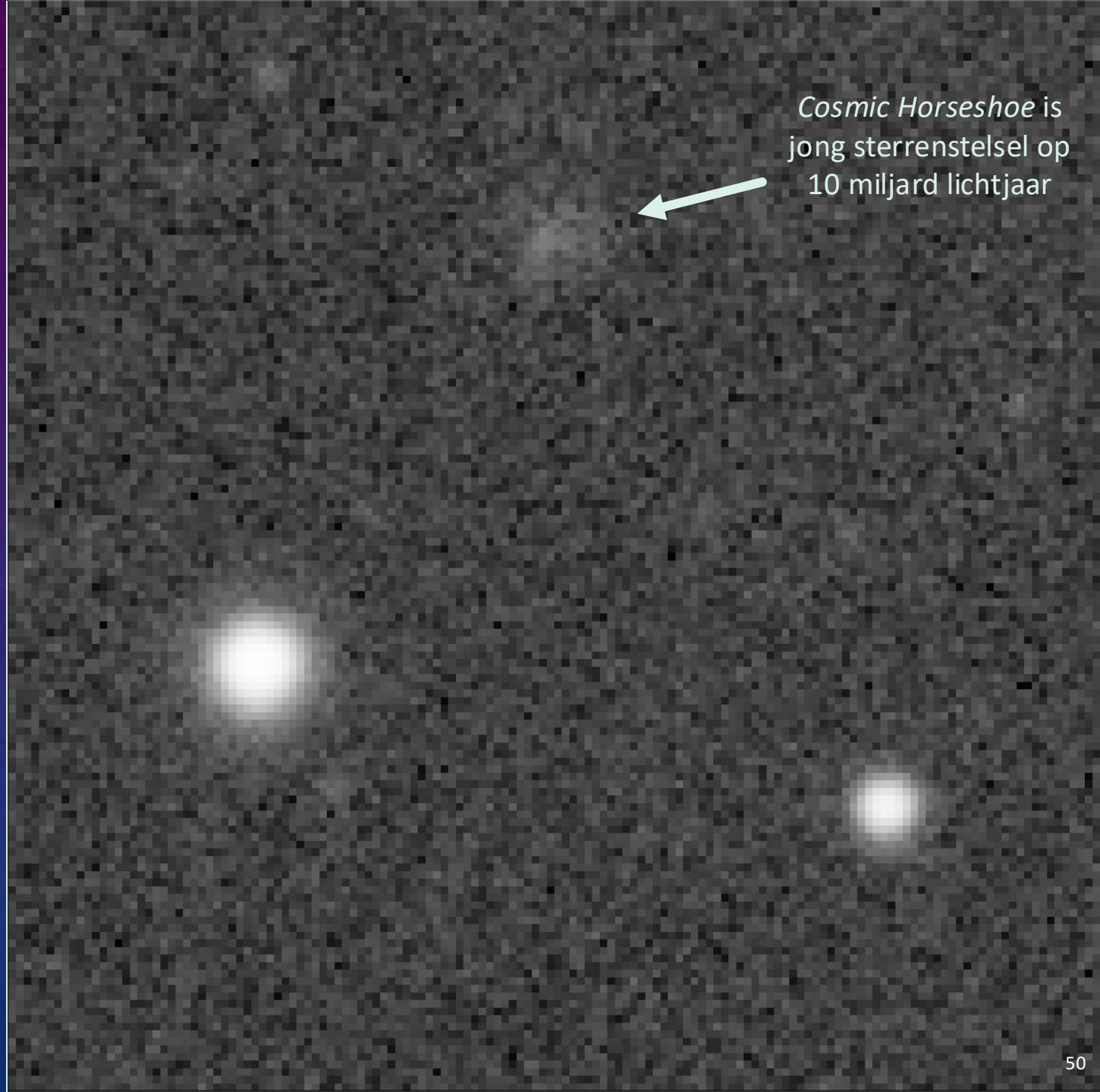
Cosmic Horseshoe:

- 38 Elektronen per pixel boven de ruis.
- Circa 10" diameter.

Circa 8500 fotonen van 10 miljard lichtjaar ver!

CONCLUSIES

- Cosmic Horseshoe lijkt zichtbaar met een kleine telescoop.
- Detectie van 10 miljard jaar verre fotonen.
- Betere opnames zijn een uitdaging!



Cosmic Horseshoe is jong sterrenstelsel op 10 miljard lichtjaar

REFERENTIES

- Met dank aan:
 - Robbert-Jan Westerduin
 - Frits van Loenen
 - Vereniging *Saturnus* en *Werkgroep AstroFotografie*
 - Christiaan Brinkerink (*Radboud Universiteit*)
- B. Eggen, D. Gomon, N. Sabti; *Observing the Cosmic Horseshoe; Observing the Cosmic Horseshoe – Observing proposal - Group II*, Leiden University, 2015-03-25.
- S. Schuldt et al.; *Inner dark matter distribution of the Cosmic Horseshoe (J1 148+1930) with gravitational lensing and dynamics*; *Astronomy & Astrophysics*, A40, 2019.
- Johan van Dorp; *S/N-ratio in deep-sky-opnamen - analyse en optimalisatie*, *ASTRO Bulletin*, nr. 61, oktober 2019.

The End, so far.

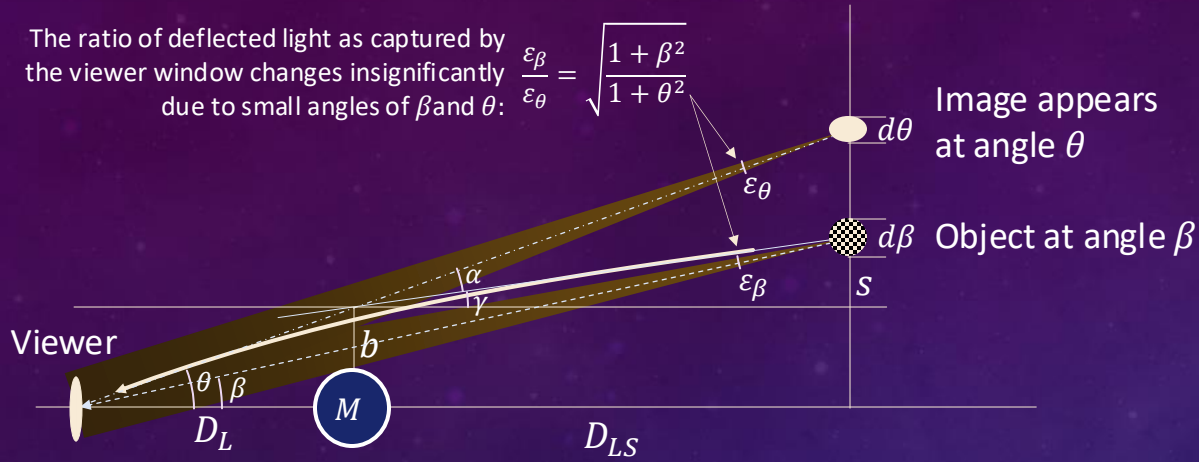
APPENDIX

Light deflection in bended space-time

(circular symmetric lensing with point mass)

The ratio of deflected light as captured by the viewer window changes insignificantly due to small angles of β and θ :

$$\frac{\varepsilon_\beta}{\varepsilon_\theta} = \sqrt{\frac{1 + \beta^2}{1 + \theta^2}}$$



An object at angle β , appears at angle θ as the mass M 's gravity deflects the light by an angle α : $\alpha = \frac{4GM}{c^2} \frac{1}{b}$

For small angles:

$$b = \theta \cdot D_L \quad s = \gamma \cdot D_{LS} \quad \gamma = \theta - \alpha$$

$$\beta \cdot (D_L + D_{LS}) = b + s = \theta \cdot D_L + \theta \cdot D_{LS} - \alpha \cdot D_{LS}$$

$$\Rightarrow \beta = \theta - \alpha \frac{D_{LS}}{D_L + D_{LS}} = \theta - \frac{4GM}{c^2} \frac{D_{LS}}{D_L} \cdot \frac{D_{LS}}{D_L + D_{LS}} \cdot \frac{1}{\theta}$$

$$\beta = \theta - \frac{\theta_E^2}{\theta} \quad \Rightarrow \theta_{1,2} = \frac{\beta \pm \sqrt{\beta^2 + 4\theta_E^2}}{2}$$

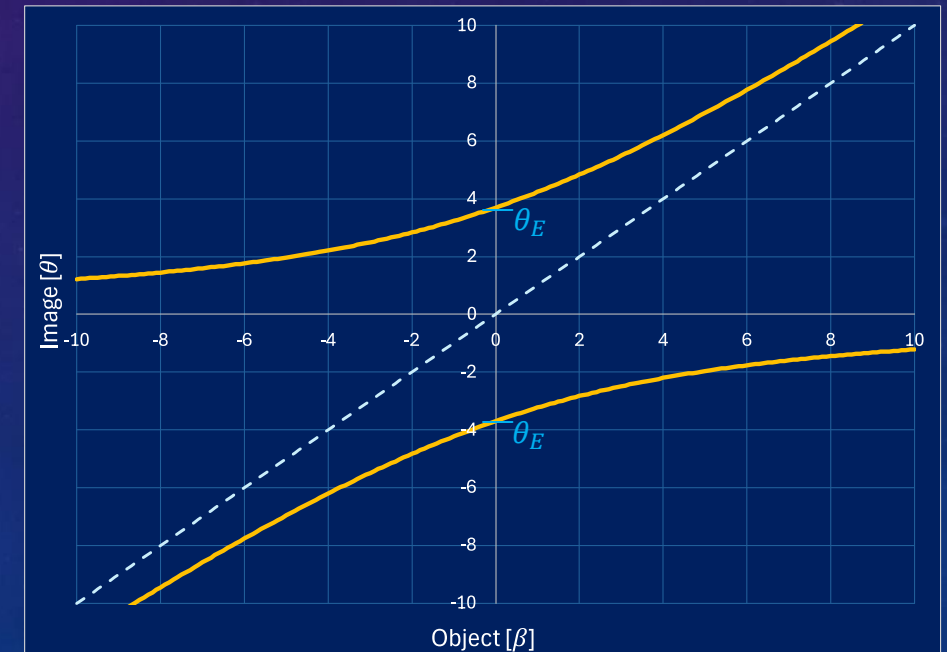
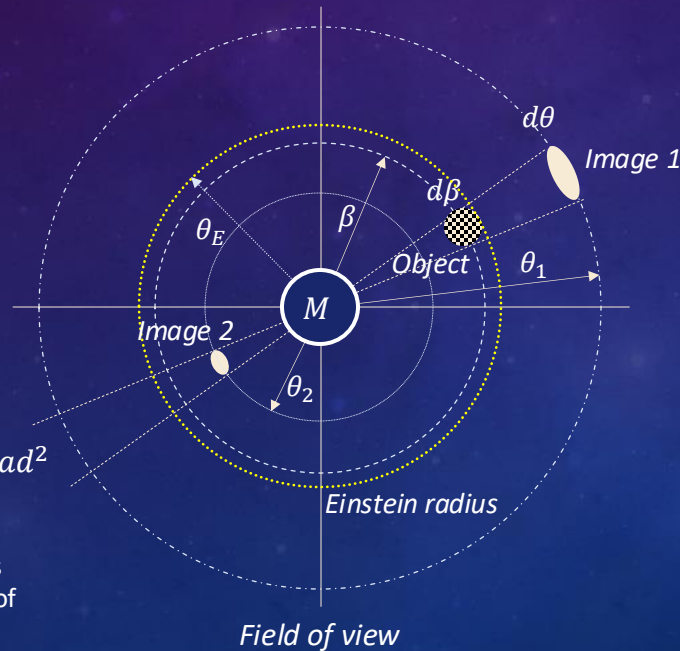
With a point mass, for every object at angle β there are two images at angles θ_1 and θ_2 .

With $\beta = 0$ there is one image as a ring at the *Einstein radius* of 8.8E20 m or $\theta_E = 3.7''$ for the Cosmic Horseshoe:

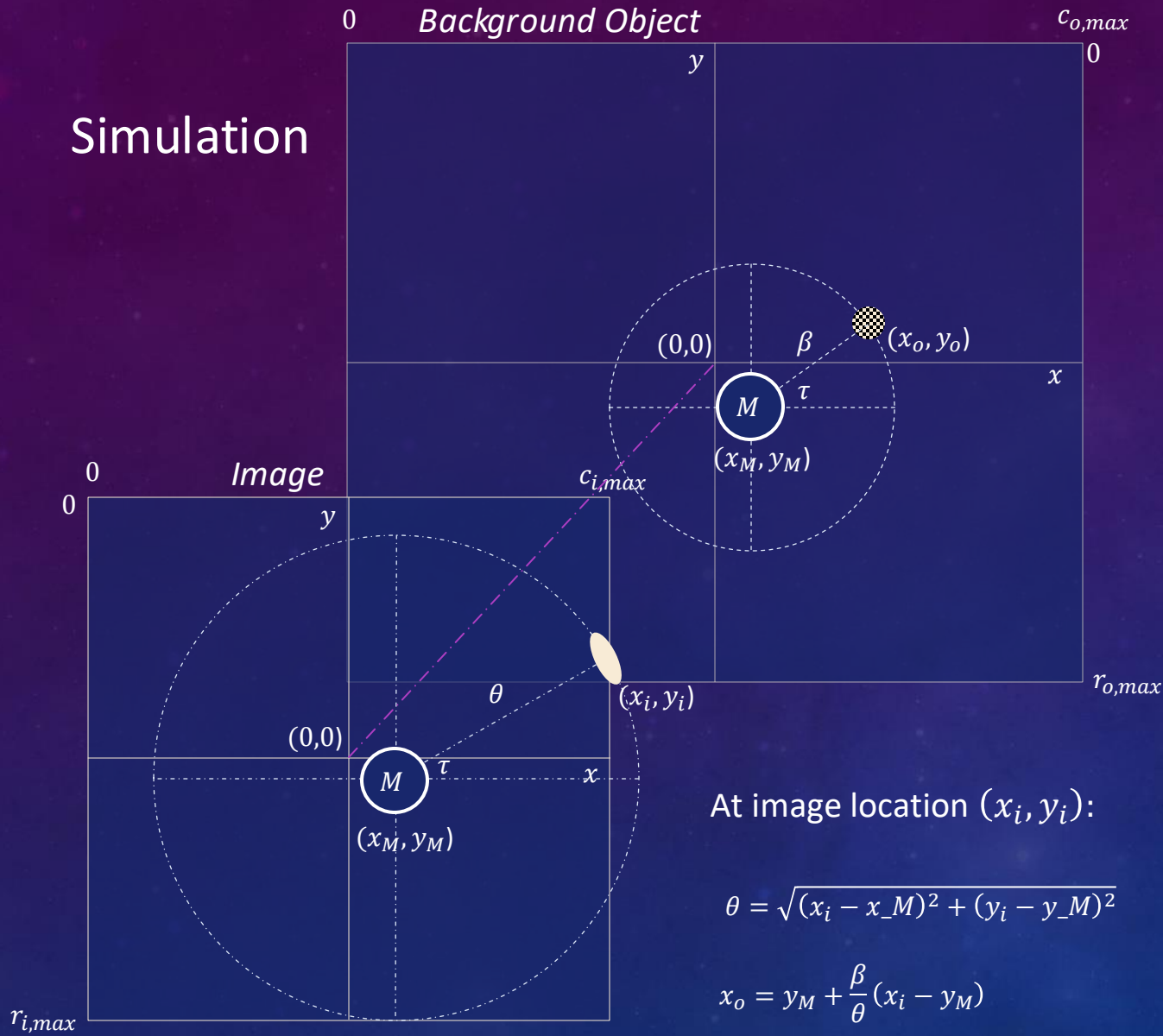
$$\theta_E^2 = \frac{4GM}{c^2} \frac{D_{LS}}{D_L} \cdot \frac{D_{LS}}{D_L + D_{LS}} = 3.2 \cdot 10^{-10} \text{ rad}^2$$

Not to confuse with the Schwarzschild radius where the escape velocity equals the speed of light:

$$r_s = \frac{2GM}{c^2} = 1.6E16 \text{ m or } 0.000067''$$



Simulation



At image location (x_i, y_i) :

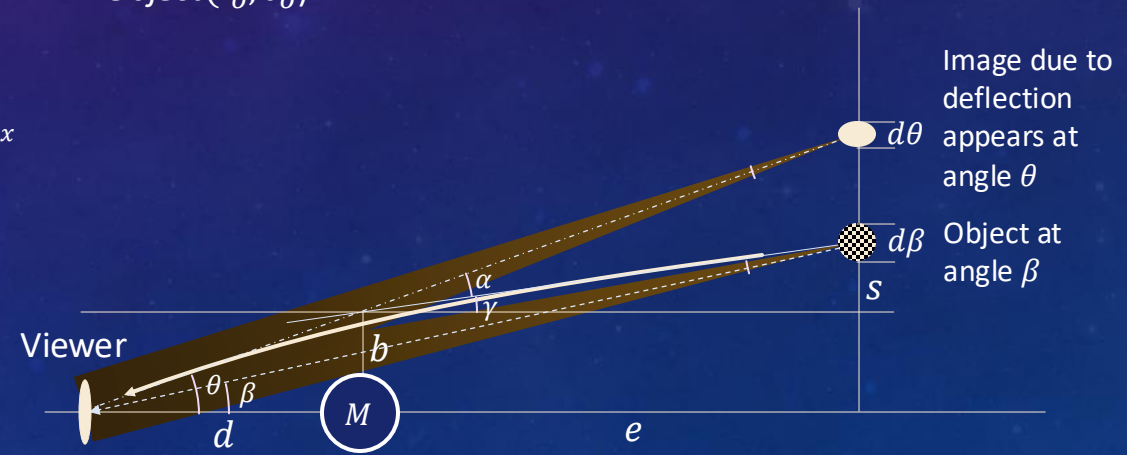
$$\theta = \sqrt{(x_i - x_M)^2 + (y_i - y_M)^2}$$

$$x_o = y_M + \frac{\beta}{\theta} (x_i - y_M)$$

$$y_o = y_M + \frac{\beta}{\theta} (y_i - y_M)$$

Construct image in Python simulation

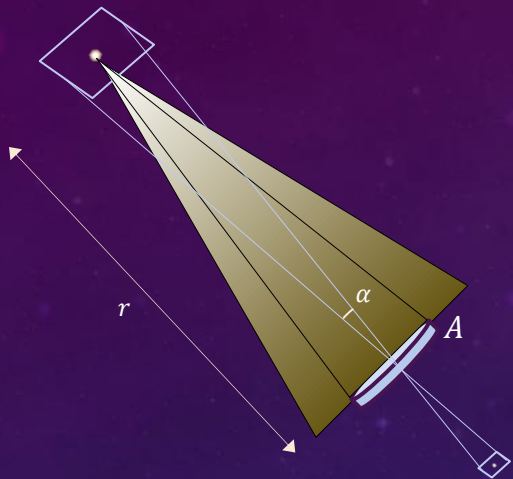
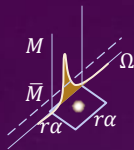
1. Scan *Image* pixels from row $r_i = 0$ to $r_{i,max}$ and from column $c_i = 0$ to $c_{i,max}$ according to Python image coordinates.
2. Calculate from *Image* location (x_i, y_i) - scaled from pixel location (r_i, c_i) - the deflected angular distance θ to mass $M (x_M, y_M)$.
3. Derive the angular angle β at the object from the deflected angular distance θ using equation $\beta = \theta - \frac{\theta_E^2}{\theta}$ and calculate object location (x_o, y_o) .
4. Scale the *Background Object* location (x_o, y_o) to *Background Object* pixel location (r_o, c_o)
5. Set pixel brightness of *Image* (r_i, c_i) to *Background Object* (r_o, c_o) .



$$\beta = \theta - \frac{\theta_E^2}{\theta}$$

$$\theta_E^2 = \frac{4G M}{c^2 D_L} \cdot \frac{D_{LS}}{D_L + D_{LS}}$$

Star brightness: magnitude



The amount of starlight captured by a sensor is independent of the solid pixel angle α .

A star is like a point source with an overall luminous flux Φ .

The illuminance at the sensor depends on the star distance r only: $E_s = \frac{\Phi_s}{4\pi r^2}$

The fraction of the luminous flux from a star captured by the telescope lens A is:

$$\Phi_A = \frac{\Phi_s}{4\pi r^2} \cdot \frac{\pi A^2}{4}$$

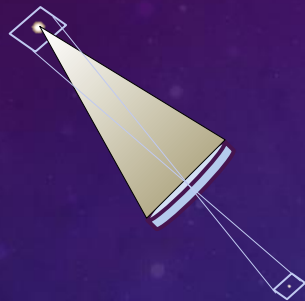
Definitions

Φ Luminous flux, Lumen, Luminous energy per unit time

M Luminous exitance, Lumen/m², Luminous flux *emitted* from a surface

E Illuminance, Lux = Lumen/m², Luminous flux *incident* on a surface

For Vega ($m_V = 0$) illuminance = 1.6E-6 Lux, $E_V = 3.2 \cdot 10^{10}$ photons/m²/s



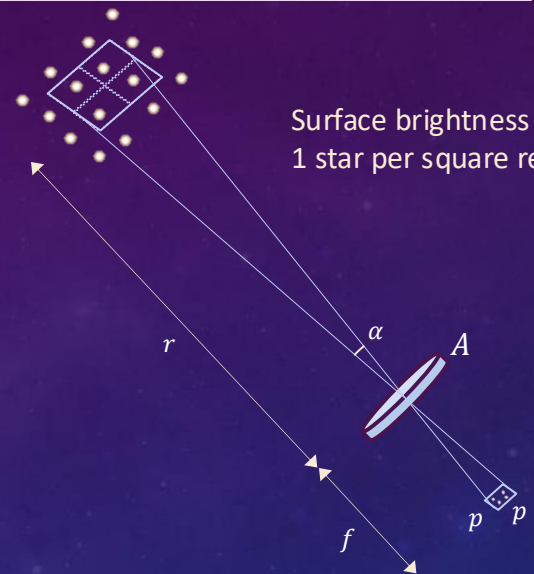
A closer star illuminates brighter at the telescope.

The illuminance from a star of magnitude m by the telescope lens area A is measured relative to the illuminance of Vega: $E_V = \frac{\Phi_V}{4\pi r^2}$

$$E_V = \frac{\Phi_V}{4\pi r^2}$$

The telescope captures a luminous flux:

$$\Phi_A = E_V \cdot 100^{-(m-m_V)/5} \cdot \frac{\pi A^2}{4}$$



Surface brightness equivalent of 1 star per square remains.

More light from a nebula is captured by a sensor with a larger solid pixel angle α .

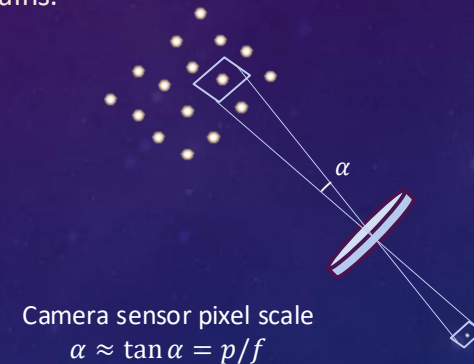
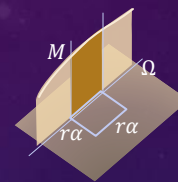
Nebula luminous exitance $M_N = \frac{d^2 \Phi_N}{d(r \alpha)^2}$ is emitted flux per *square meter* of nebula. The luminous flux Φ_n of a nebula:

$$\Phi_N = \iint_0^{\alpha^2} M(\Omega) r^2 d\Omega^2 = \bar{M}_N r^2 \alpha^2$$

(called the etendue).

With a shorter focal length, the pixel angle α becomes larger and consequently the luminous flux Φ_n becomes larger.

Nebula brightness: magnitude per arcsecond²



Camera sensor pixel scale $\alpha \approx \tan \alpha = p/f$

With a nebula closer, a smaller area of the nebula is observed, and the surface brightness is preserved.

The illuminance at the sensor is independent of the distance of the nebula:

$$E_N = \frac{\Phi_N}{4\pi r^2} = \frac{\bar{M}_N \alpha^2}{4\pi}$$

The telescope captures a luminous flux:

$$\Phi_A = (E_V / \alpha_V^2) \cdot 100^{-(m_N - m_V)/5} \cdot \alpha^2 \cdot \frac{\pi A^2}{4}$$

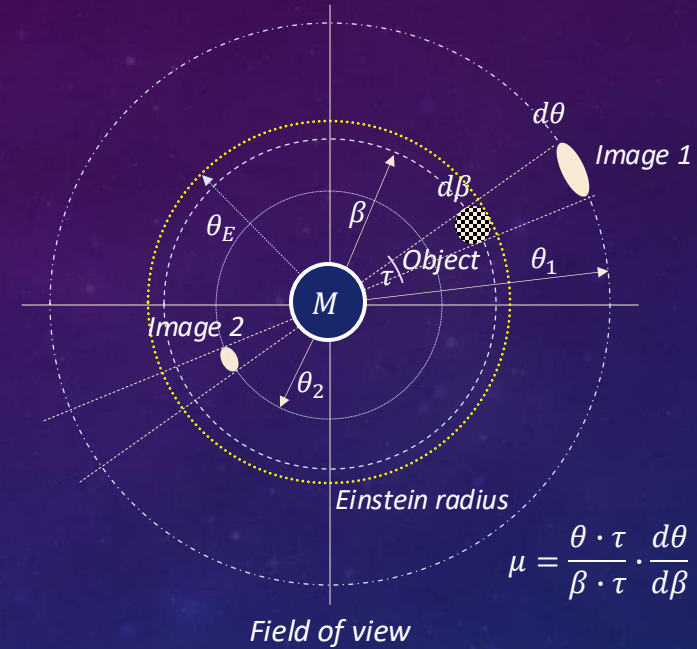
Light intensity through a gravitation lens

(circular symmetric lensing with point mass)

For resolved objects ('nebula') the observed surface brightness does not change with magnification. This is because the magnification changes the observed area of the object, but the object solid angle of the observer will counterbalance this effect, and the observed surface brightness remains.

For for unresolved objects (stars) the magnification due to lensing changes the observed brightness. The magnification of the gravitation lens μ is the ratio of the image to the object area.

$$\mu = \frac{\theta \cdot \tau}{\beta \cdot \tau} \cdot \frac{d\theta}{d\beta}$$



With the relation of the object angle δ and image angle β :

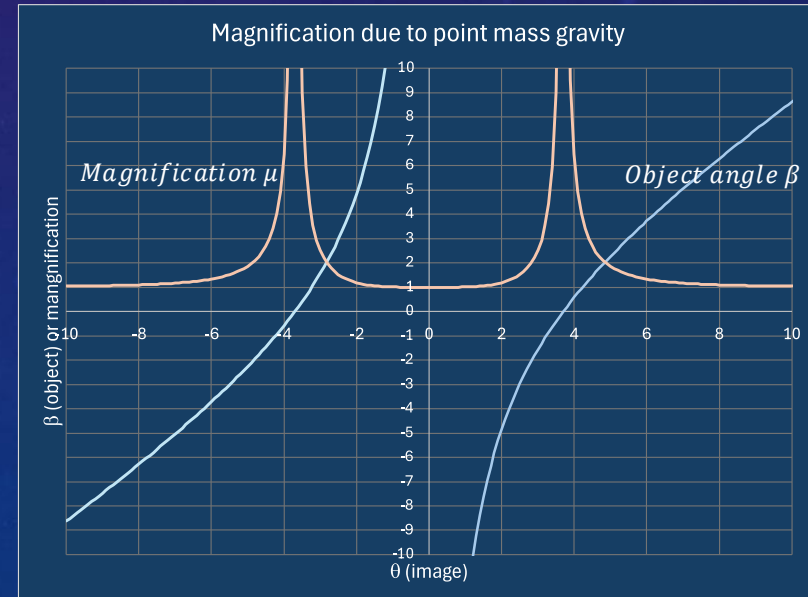
$$\beta = \theta - \frac{\theta_E^2}{\theta} \quad \text{or} \quad \theta_{1,2} = \frac{\beta \pm \sqrt{\beta^2 + 4\theta_E^2}}{2}$$

The magnification due to lensing is (with $u = \beta/\theta_E$)¹⁾:

$$\mu_{1,2} = \left(\left(1 - \frac{\theta_E^2}{\theta_{1,2}^2} \right) \left(1 + \frac{\theta_E^2}{\theta_{1,2}^2} \right) \right)^{-1} = \left(1 - \left(\frac{\theta_E}{\theta_{1,2}} \right)^4 \right)^{-1} = \frac{u^2 + 2}{2u\sqrt{u^2 + 4}} \pm \frac{1}{2}$$

The total observed magnification is, with both images, $\mu_{tot} = |\mu_1| + |\mu_2|$

$$\mu_{tot} = \frac{u^2 + 2}{u\sqrt{u^2 + 4}}$$



¹⁾ <https://arxiv.org/abs/astro-ph/9812021> with equations (17) and (19)

HORSESHOE AMATEUR OBSERVATIONS (LARGE TELESCOPES)

Bart Declercq, 4 h, 500 mm Newton



Jerry Macon, 31h, 350 mm Ritchey-Cretien



Morten la Cour, 18 h, 300 mm Newton



Marc Dickinson, 26 h, 350 mm Cassegrain



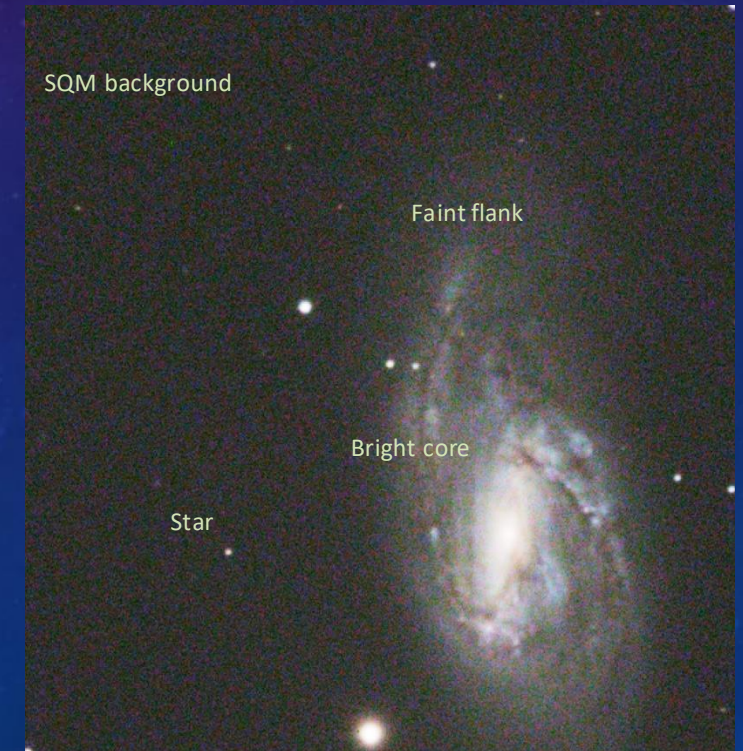
SIGNAAL / RUIS OPTIMALISATIE

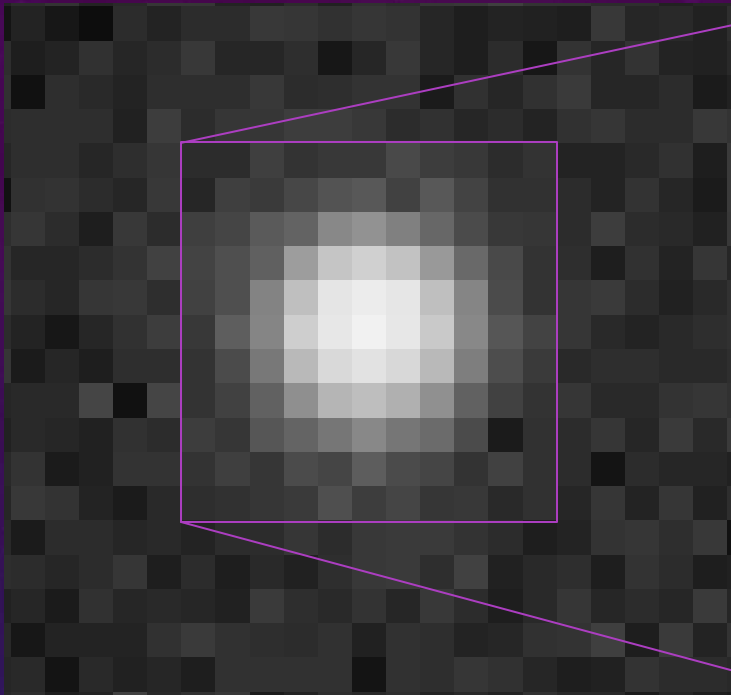
Information input	Input	Output	Calculation	Model by Johan van Dorp, 2019	
Sensor ZWO ASI1600MM Pro			Telescop Takahashi TSA-120		
pixels x		4656	Aperture	A 0.120 m	
pixels y		3520	Focal length	f 0.890 m	
pixel size	p	3.8 μm	Aperture ratio f/A	f/7.4	
Sensor: analog level per digital unit (ADU)	g	5.00 e-	Signal Acquisition		
RMS read-out noise	r	3.60 e-	Exposure time	t 120 s	
Bias [ADU] (eliminated in calibration)	b	0	Number <u>raw</u> (single) frames	n_r 16	
Full Well Capacity	FWC	20000 e-	Number <u>bias</u> frames	n_b 32	
Pixel dark current at 25 °C	d	0.350 e-/s	Number <u>dark</u> frames	n_d 32	
Temperatuur chip	T	-10 °C	Number <u>flat</u> frames	n_f 64	
Pixel dark current at -10°C	d	0.003 e-/s	Saturation level flats	50%	
bit-depth ADC		12	bias signal [ADU]	0.13	
# in ADU		4096			
Quantum Efficiency		60%			
Transmission (fraction of photons captured in spectrum)		18%	Pixel image scale	a 0.88"	
Darks Signal S_{dark} [ADU]		0.066	Flats Signal S_{flat} [ADU]	2048	
Darks Noise single S_{dark} [ADU]		0.729	Flats Noise single S_{flat} [ADU]	45.3	
$(S/N)_{\text{darks}}$ n = 32		0.509	$(S/N)_{\text{flats}}$ n = 64	362	
Pixel information		SQM background	bright core	faint flank	star
(Surface) brightness [magn/arcsec ² , magn]		21.2	18	22.5	20
Incident Photon Flux		331 /m2/s	6310 /m2/s	100 /m2/s	1000 /m2/s
Photon-induced charge		0.314 e-/s	5.977 e-/s	0.095 e-/s	0.947 e-/s
Signal charge			717.29 e-	11.37 e-	113.68 e-
Sky background charge		37.64 e-	37.64 e-	37.64 e-	37.64 e-
Signal + Sky charge x_{pe}		37.64 e-	754.93 e-	49.01 e-	151.33 e-
Darks Signal charge x_d		0.33 e-	0.33 e-	0.33 e-	0.33 e-
Total Signal S_{raw} [ADU]	single light frame	7.6	151.1	9.9	30.3
Total Noise S_{raw} [ADU]		1.43	5.54	1.58	2.57
$(S/N)_{\text{raw}}$		5.3	27.2	6.3	11.8
Total Signal S_{stack} [ADU]	dark frame	7.5	151.0	9.8	30.3
Total Noise S_{stack} [ADU]	corrected	0.38	1.39	0.42	0.65
$(S/N)_{\text{stack}}$	stack	19.8	108.5	23.6	46.3
Total Signal $S_{\text{calibrated}}$ [ADU]	flat frame	7.5	151.0	9.8	30.3
Total Noise $S_{\text{calibrated}}$ [ADU]	corrected	0.40	1.81	0.44	0.74
$(S/N)_{\text{calibrated}}$	stack	18.8	83.5	22.2	41.0
Total Signal S_{object} [ADU]	sky back-ground		143.5	2.3	22.7
Total Noise S_{object} [ADU]			1.9	0.6	0.8
$(S/N)_{\text{object}}$ (>50 is good, >200 Excellent)	subtracted		77.4	3.8	27.1
Object-Sky Total Signal Ratio			19.05	0.30	3.02

Model

Ontwikkeld door Johan van Dorp (ASTROBulletin 61, 2019).

Berekent de signaal-ruis verhouding voor een telescoop met camera.



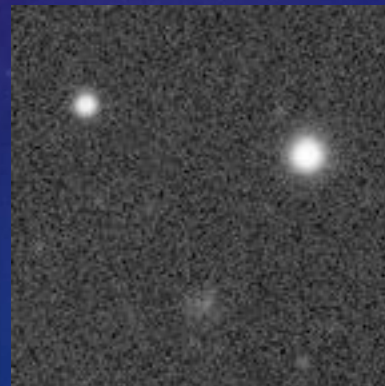


Star light on a single 120 s exposed luminance frame with 120 mm refractor in frame center.

1 pixel is 3.8 μm or 0.89"

11223	11223	16183	13193	14431	14431	18856	15612	14431	11223	13193
9827	16183	15028	18345	21260	21590	16741	22590	17288	12552	12552
16183	17812	23016	25409	34966	37428	32829	26510	19357	14431	13819
17288	20328	24641	40479	50556	53583	39961	39205	26864	18856	13819
16741	24247	33571	48982	58830	60779	59066	49119	34284	19357	13819
14431	19357	34284	52865	59487	61984	59487	51776	34966	22156	17288
13193	16741	30966	47642	55836	58008	55571	47562	32114	19848	15028
15612	13819	25029	26651	46542	48842	45204	37045	25029	16741	13193
13193	16183	22156	25783	30361	31966	30361	27554	19357	6812	12552
11896	12552	13819	19357	17822	23844	19357	17822	13193	16741	12552
9102	11223	11223	15028	20328	15612	17822	13819	14431	10533	12552

Star light values (ADU) scaled to 16 bit.



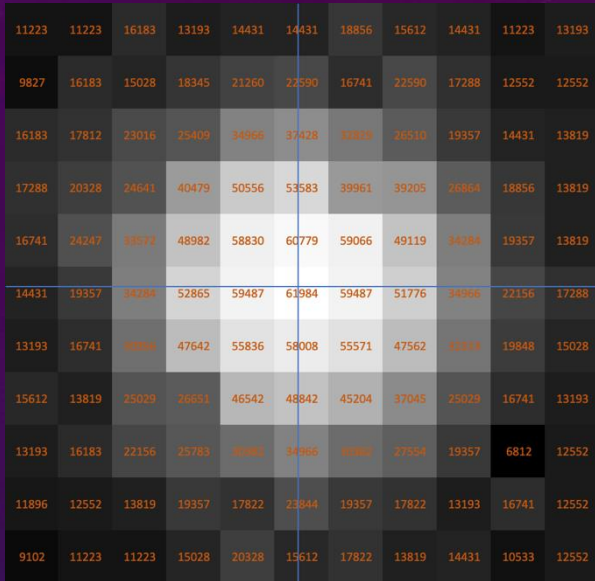
Star light center of gravity

The spreading of the star light, the Point Spread Function (PSF), is defined by optical diffraction, atmospheric diffraction and photon Poisson noise, and is close to a Gaussian distribution function.

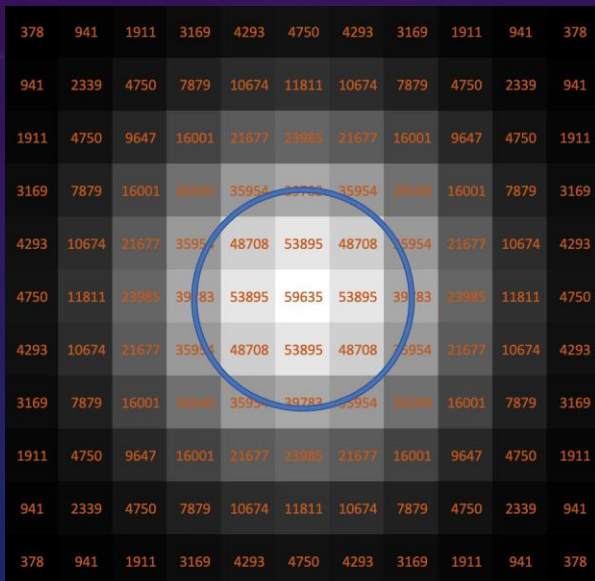
Independent of focus, with the momentum equation the center of the star can be calculated accurately (5.993, 6.104) with star light P_i above the background average S :

$$\bar{x} = \frac{\sum_i x_i(P_i - S)}{\sum_i (P_i - S)} \quad \bar{y} = \frac{\sum_i y_i(P_i - S)}{\sum_i (P_i - S)}$$

With light per pixel measured, the center of a star can be measured with more precision than the resolution of the camera or telescope.



Star light values (ADU) scaled to 16 bit.



Star light modelled in Gaussian distribution with FWHM shown as blue circle (3.5 pixels).

Star light FWHM model (former)

The spread of the star light, the Point Spread Function (PSF), is defined by optical diffraction, atmospheric diffraction and photon Poisson noise, and is close to a Gaussian distribution function.

The light P above the background average S is modelled empirically:

$$P_r = P_0 \cdot e^{-\left(\frac{r}{\sigma}\right)^2}$$

By rewriting the equation in a linear function, with curve fitting parameters P_0 and σ can be determined.

From the linear fitted function $y = ax + b$:

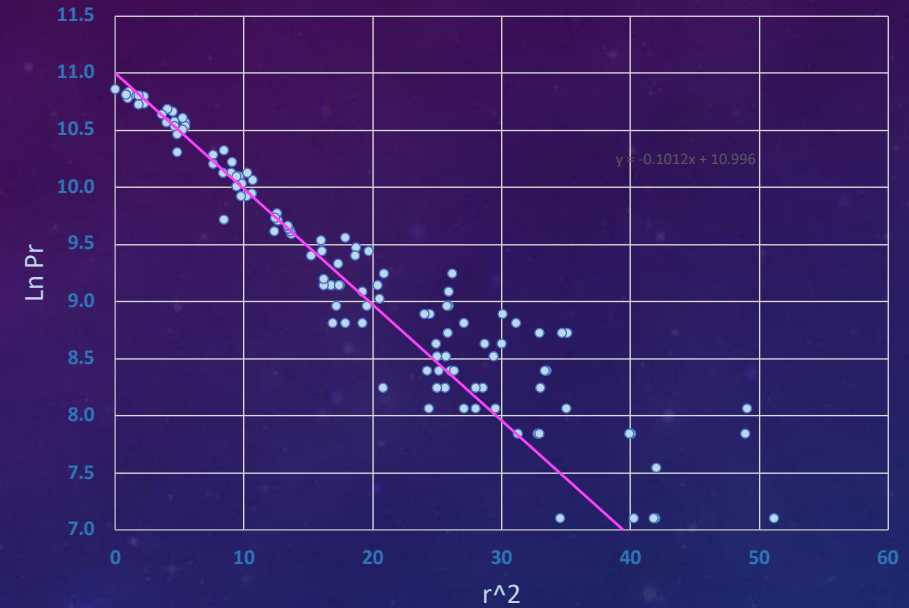
$$y = \ln P_r \quad x = r^2 \quad a = -\frac{1}{\sigma^2} \quad b = \ln P_0$$

The PSF is characterized by the Full-Width at Half the Maximum (FWHM).

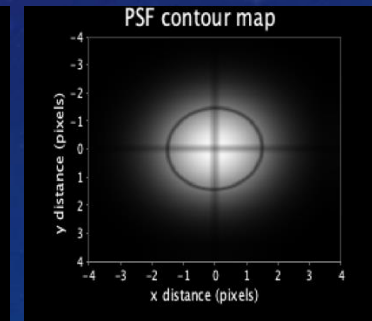
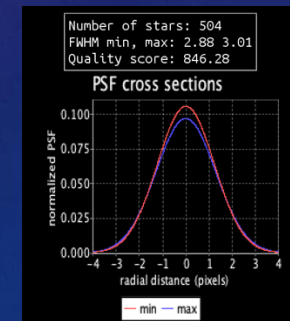
From the Gaussian distribution function, with $P_r = P_0/2$ the FWHM can easily be derived as:

$$FWHM = 2 \cdot \sqrt{\ln 2} \cdot \sigma$$

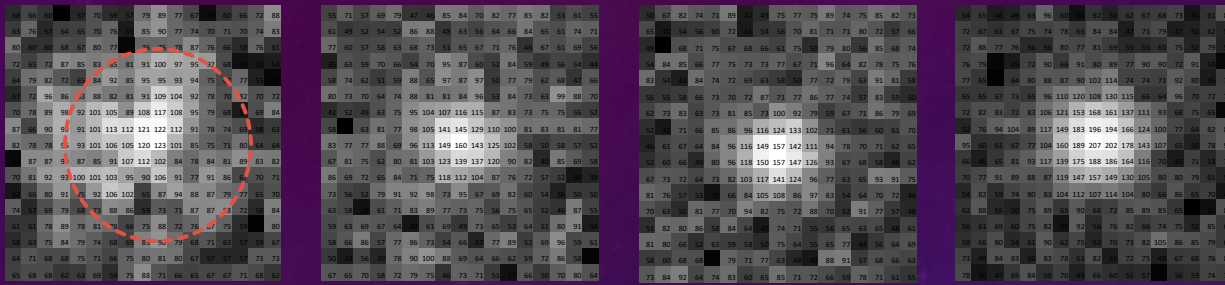
Gaussian fit of Point Spread Function of Star



Fitting the Gaussian distribution on the star light curve based on light per pixel received. Small errors can be seen, demonstrating that the curve is not exactly Gaussian, e.g. by Airy-disc or guiding control.



The image processing program APP generates a measured PSF distribution curve as well as a contour map in both dimensions of all stars of one image. This will affect the 'image quality score'.

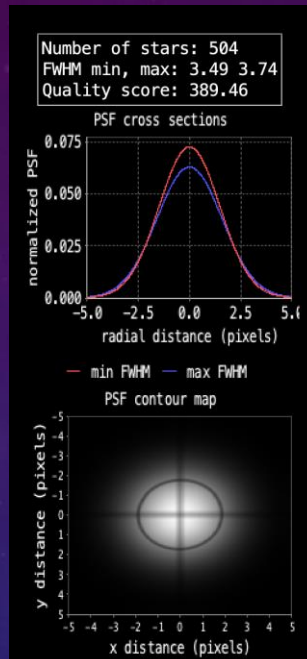


Einstein ring

Reference Star 1

Reference Star 2

Reference Star 3



Number of stars: 504
FWHM min, max: 3.49 3.74
Quality score: 389.46

PSF cross sections
normalized PSF
radial distance (pixels)

min FWHM max FWHM
PSF contour map
y distance (pixels)
x distance (pixels)

Star light spread

The spread of the star light, the Point Spread Function (PSF), is defined by optical diffraction, atmospheric diffraction and photon Poisson noise, and is close to a Gaussian distribution function.

$$P_r = P_m \cdot e^{-\left(\frac{r}{\sigma}\right)^2}$$

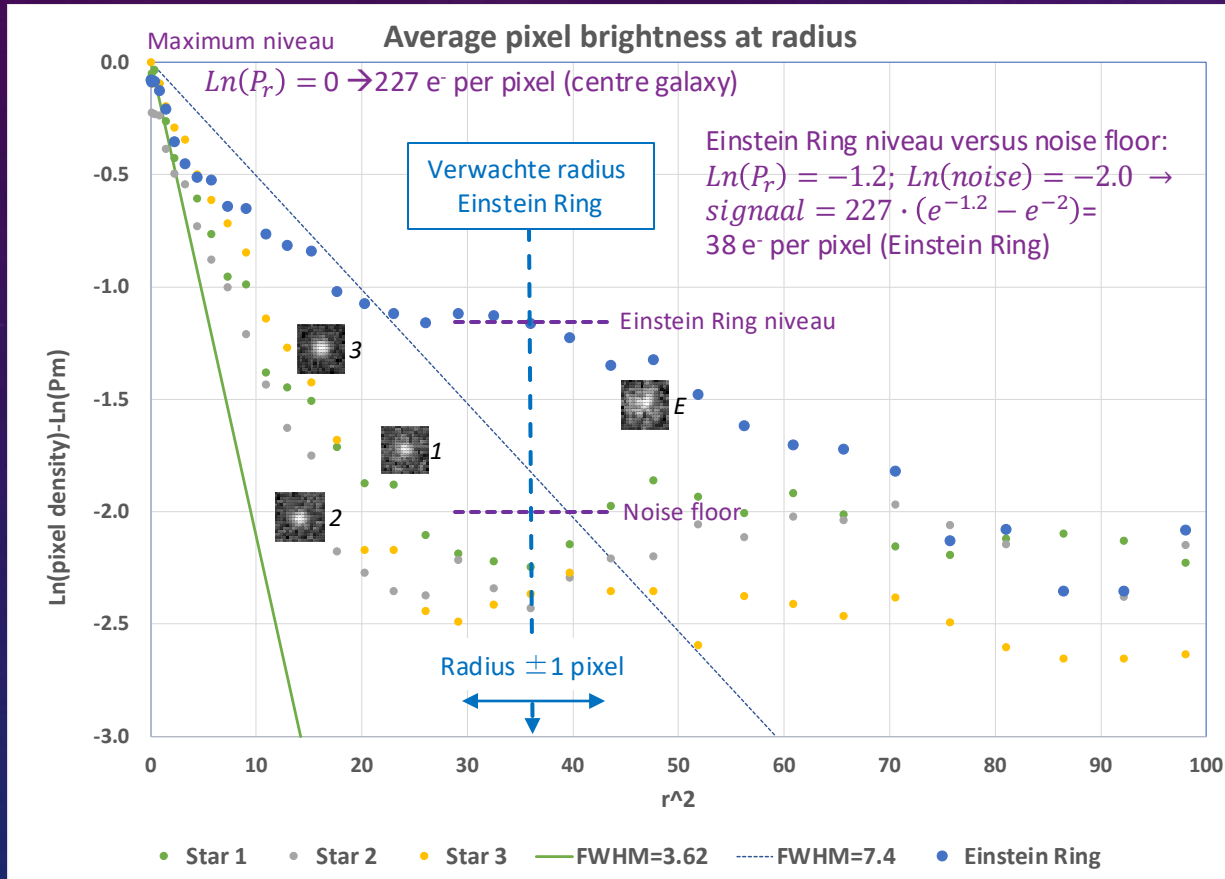
The PSF is characterized by the Full-Width at Half the Maximum (FWHM) and from this we can determine the spread σ of the Gaussian distribution function.

$$\sigma = \frac{FWHM}{2\sqrt{\ln 2}} \quad a = -\frac{1}{\sigma^2} = \frac{-4 \cdot \ln 2}{FWHM^2}$$

With the average $FWHM = 3.62$ on average of the Einstein Ring photograph, $\sigma = 2.2$. and the slope is $a = -0.21$.

The galaxy at the front which form the lens appears to show a light fall off along the line $FWHM=7.4$ because it is not a point source.

About 10-20 pixels received light from the Einstein ring with at about 38 e⁻/pixel. In total about 570 electrons. This corresponds to about 8500 photons captured (with 11% spectral transmission and quantum efficiency) at a rate of one photon every 3 s for eight hours long.



Maximum niveau Average pixel brightness at radius

$\ln(P_r) = 0 \rightarrow 227 e^-$ per pixel (centre galaxy)

Verwachte radius Einstein Ring

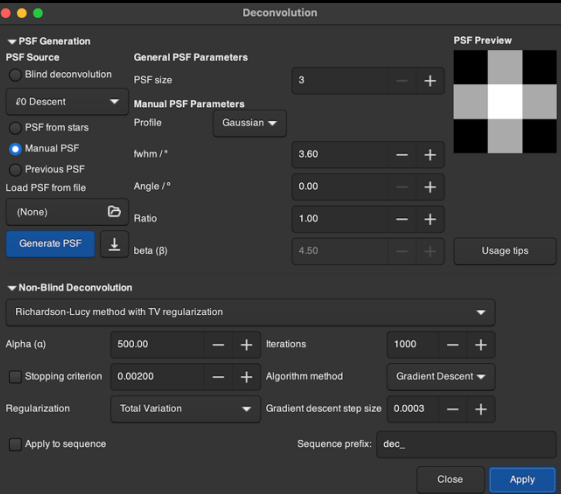
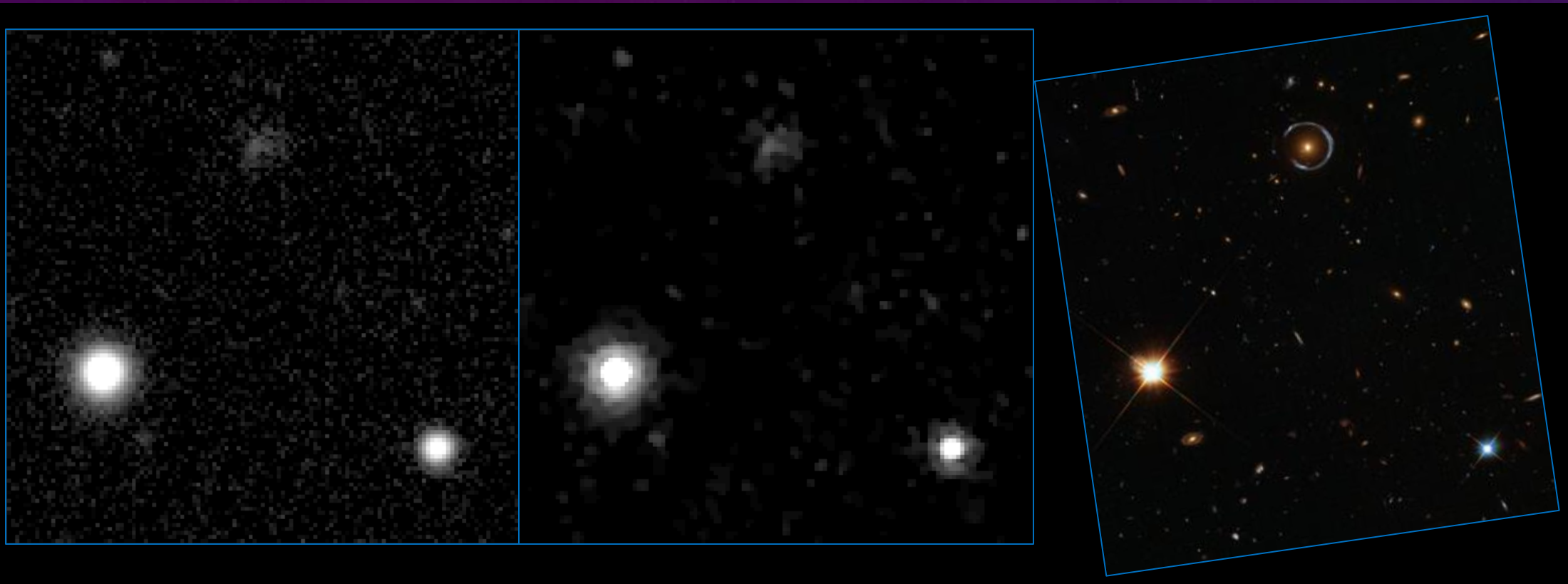
Einstein Ring niveau versus noise floor:
 $\ln(P_r) = -1.2; \ln(\text{noise}) = -2.0 \rightarrow$
 $\text{signaal} = 227 \cdot (e^{-1.2} - e^{-2}) =$
 $38 e^-$ per pixel (Einstein Ring)

Einstein Ring niveau

Noise floor

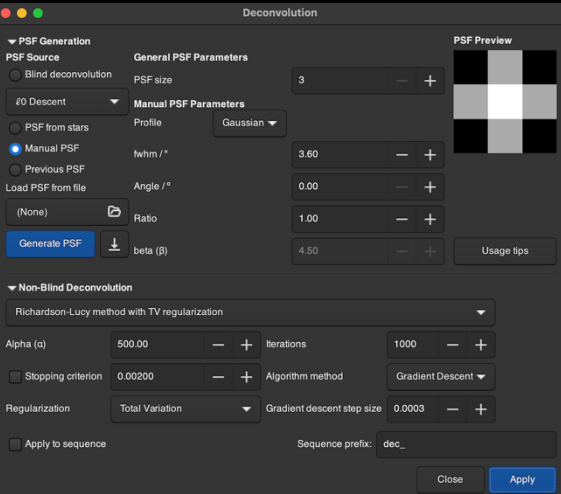
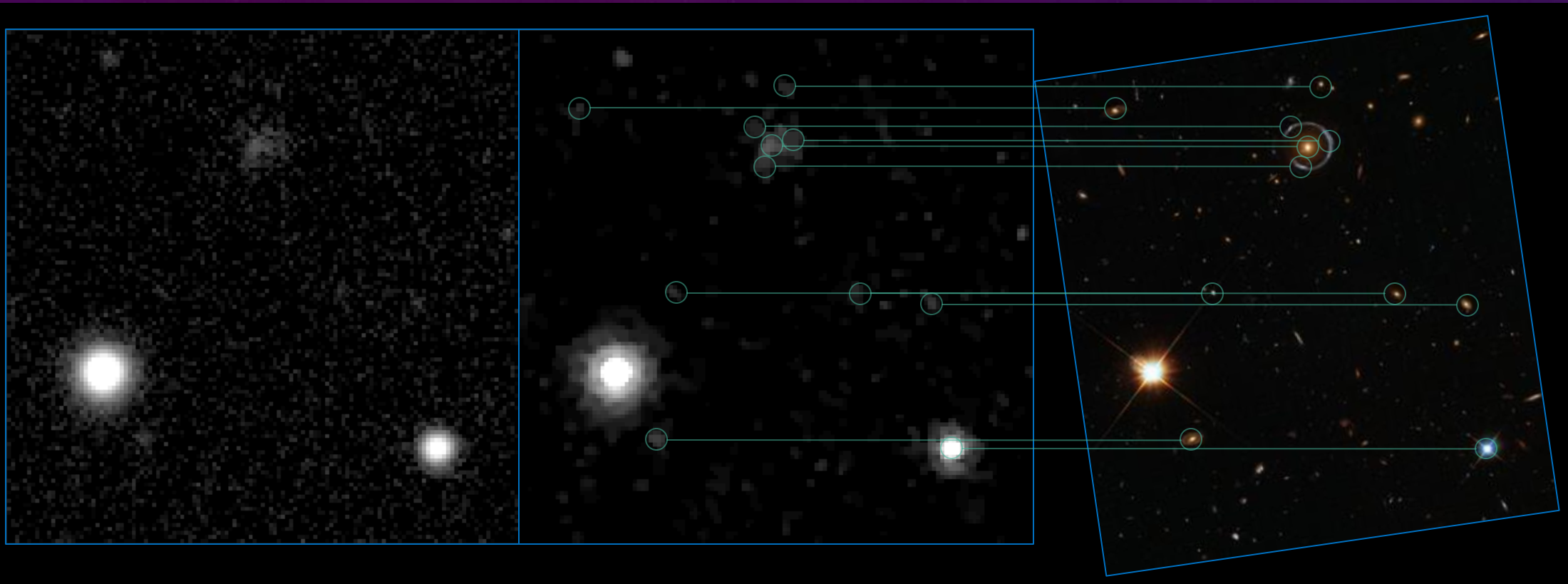
Radius ± 1 pixel

• Star 1 • Star 2 • Star 3 — FWHM=3.62 FWHM=7.4 • Einstein Ring



De Einstein Ring, links origineel met 120 mm kijker en 8 uur belicht, midden door deconvolutie in Siril en rechts opname met Hubble Space Telescope. De verbetering door deconvolutie is niet groot, maar de ring laat helderheidsvariaties zien waar de HST die ook ziet. Ook lichten pixels op bij sterrenstelsels van maar enkele boogseconden groot (1 pixel = 0.88").

← Siril deconvolutie instellingen: PSF gemeten van ster op 3.6 pixels FWHM, 1000 iteraties met Richardson-Lucy methode.



De Einstein Ring, links origineel met 120 mm kijker en 8 uur belicht, midden door deconvolutie in Siril en rechts opname met Hubble Space Telescope. De verbetering door deconvolutie is niet groot, maar de ring laat helderheidsvariaties zien waar de HST die ook ziet. Ook lichten pixels op bij sterrenstelsels van maar enkele boogseconden groot (1 pixel = 0.88").

← Siril deconvolutie instellingen: PSF gemeten van ster op 3.6 pixels FWHM, 1000 iteraties met Richardson-Lucy methode.

Mario Pinto, 120 mm refractor
0.88" / pixel



10"
Einstein ring?

Bart Leclercq, 500 mm f/4 Newton
48x5', ZQO ASI 294MC Pro



